

F14.1

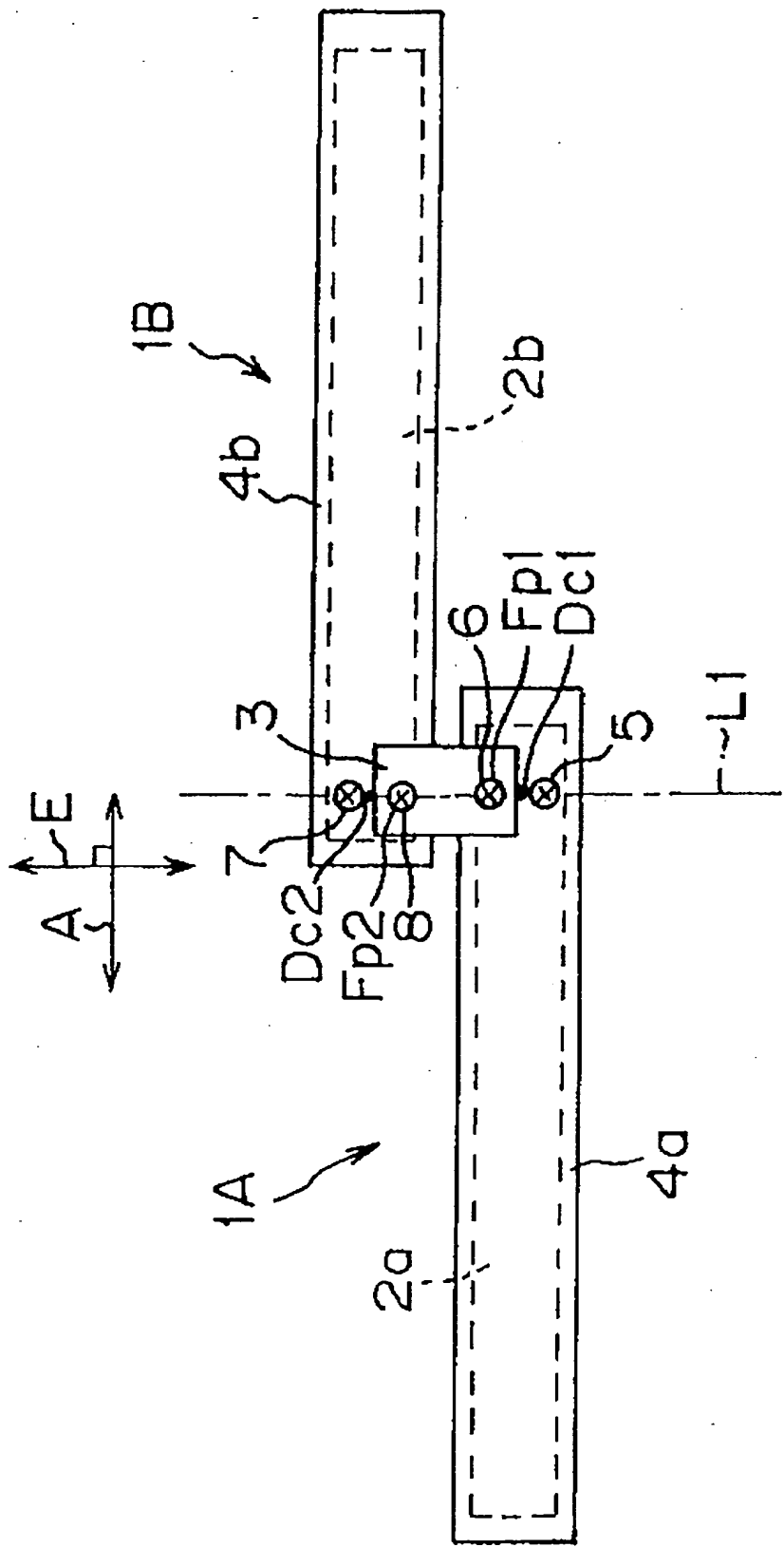
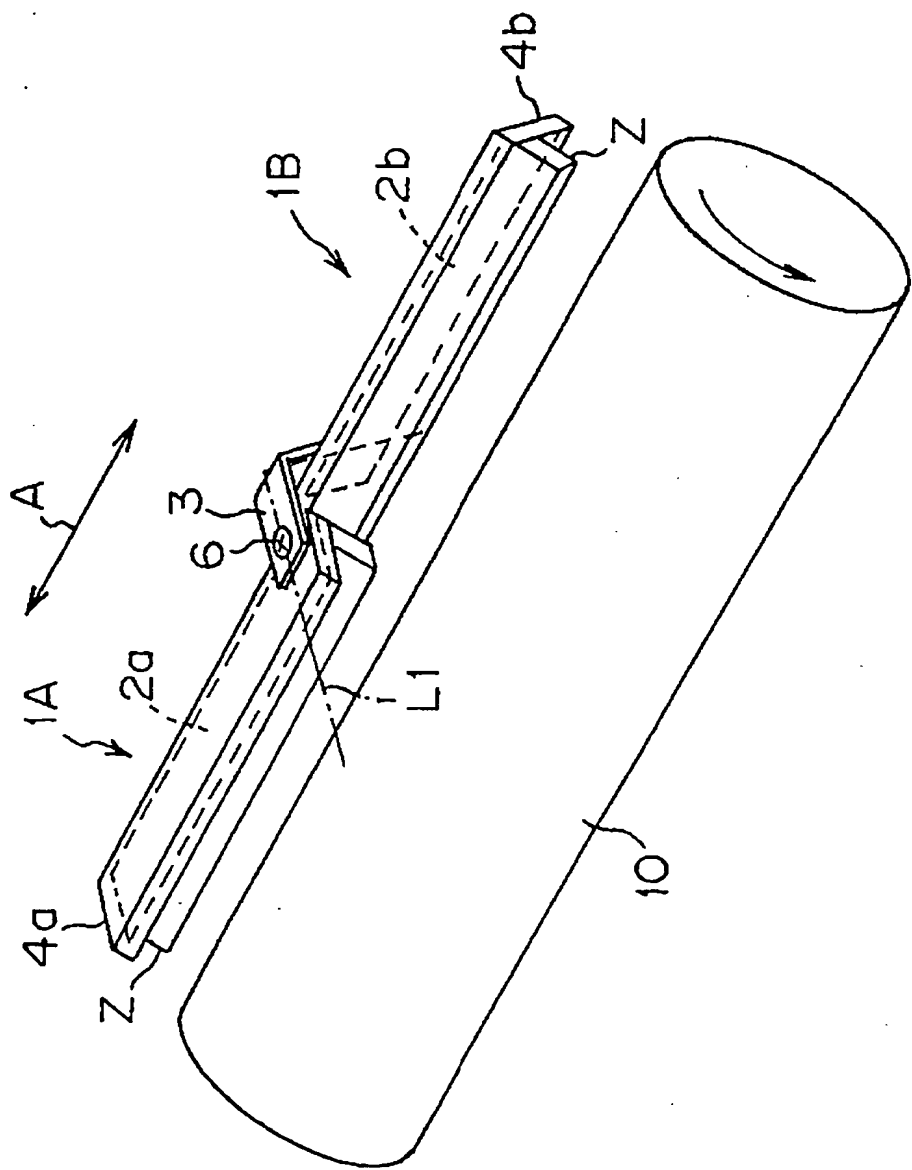


FIG. 2



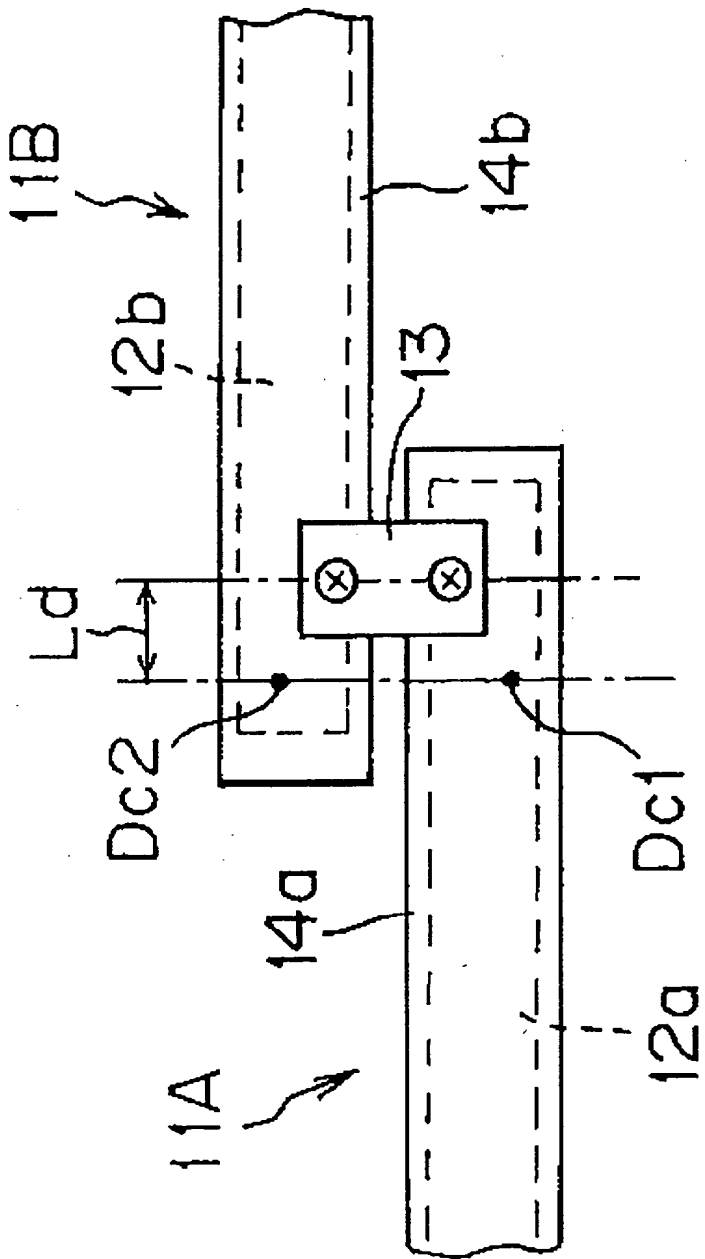


FIG. 4

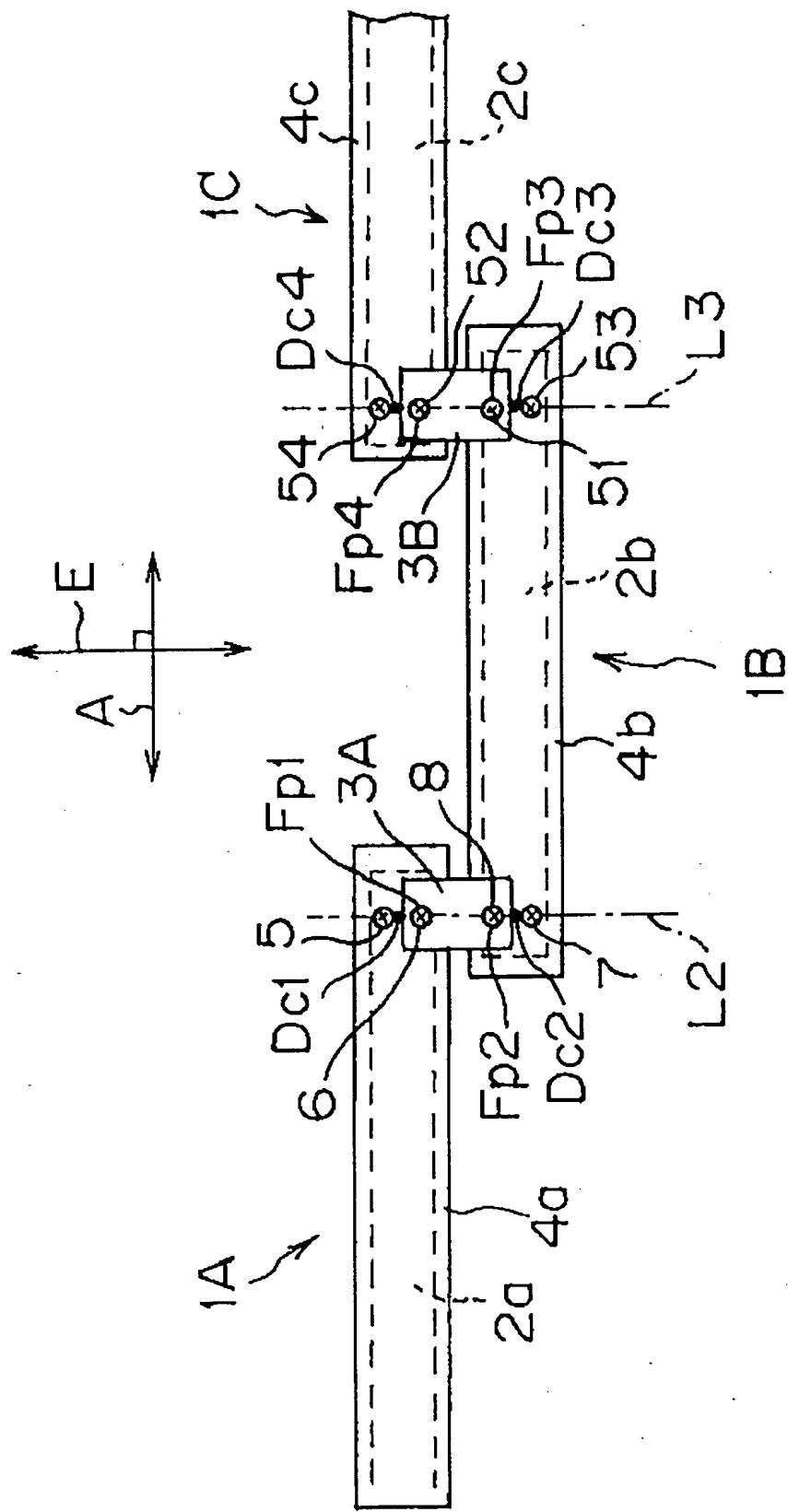
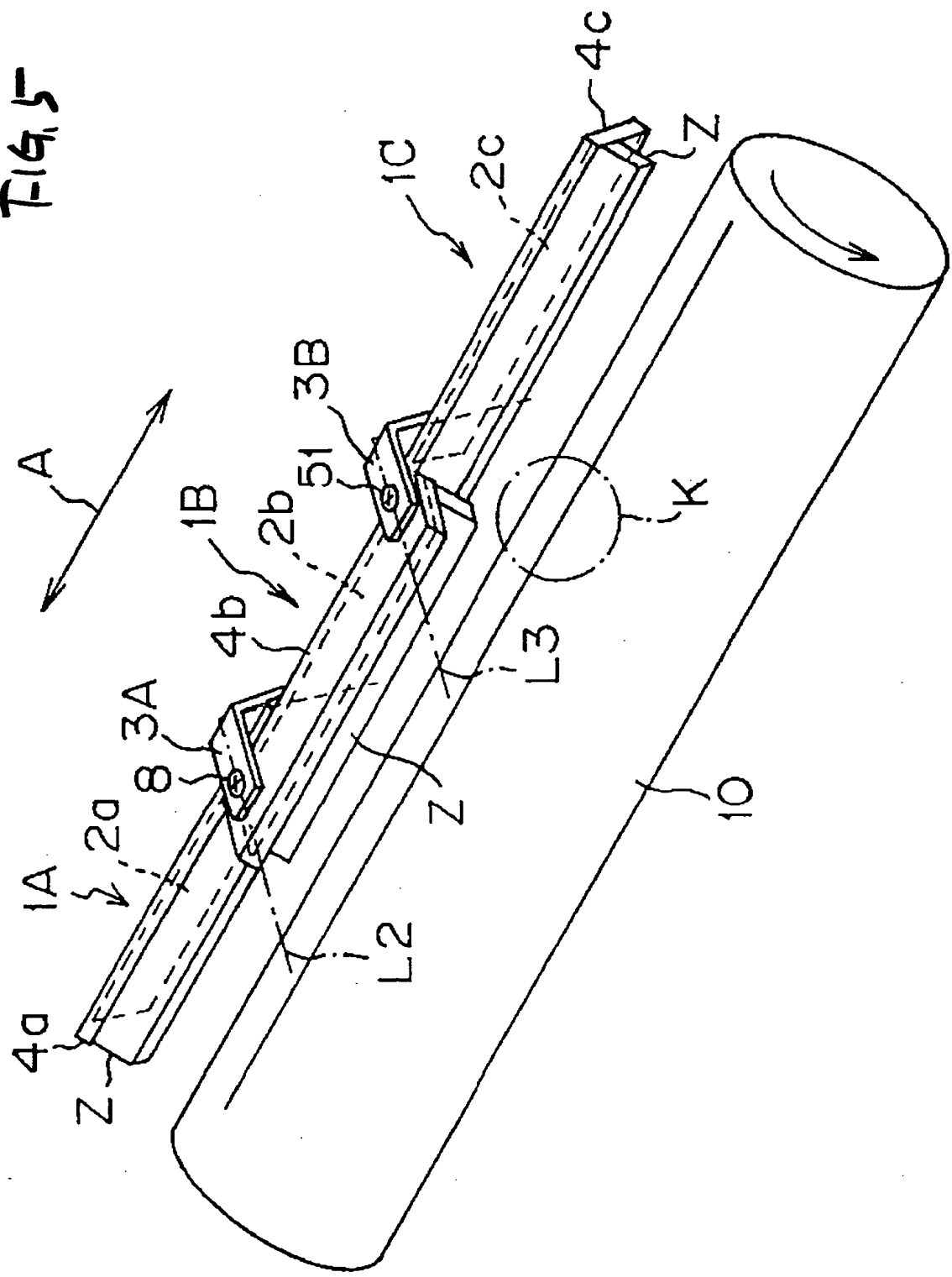


FIG. 5



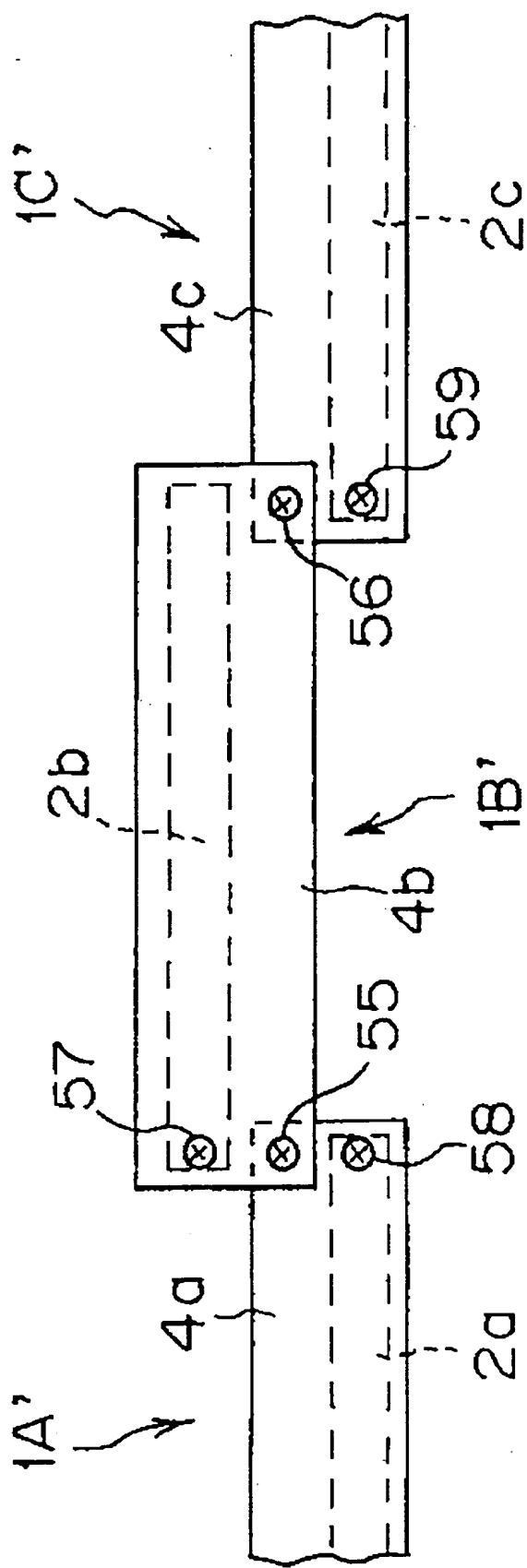


FIG. 7

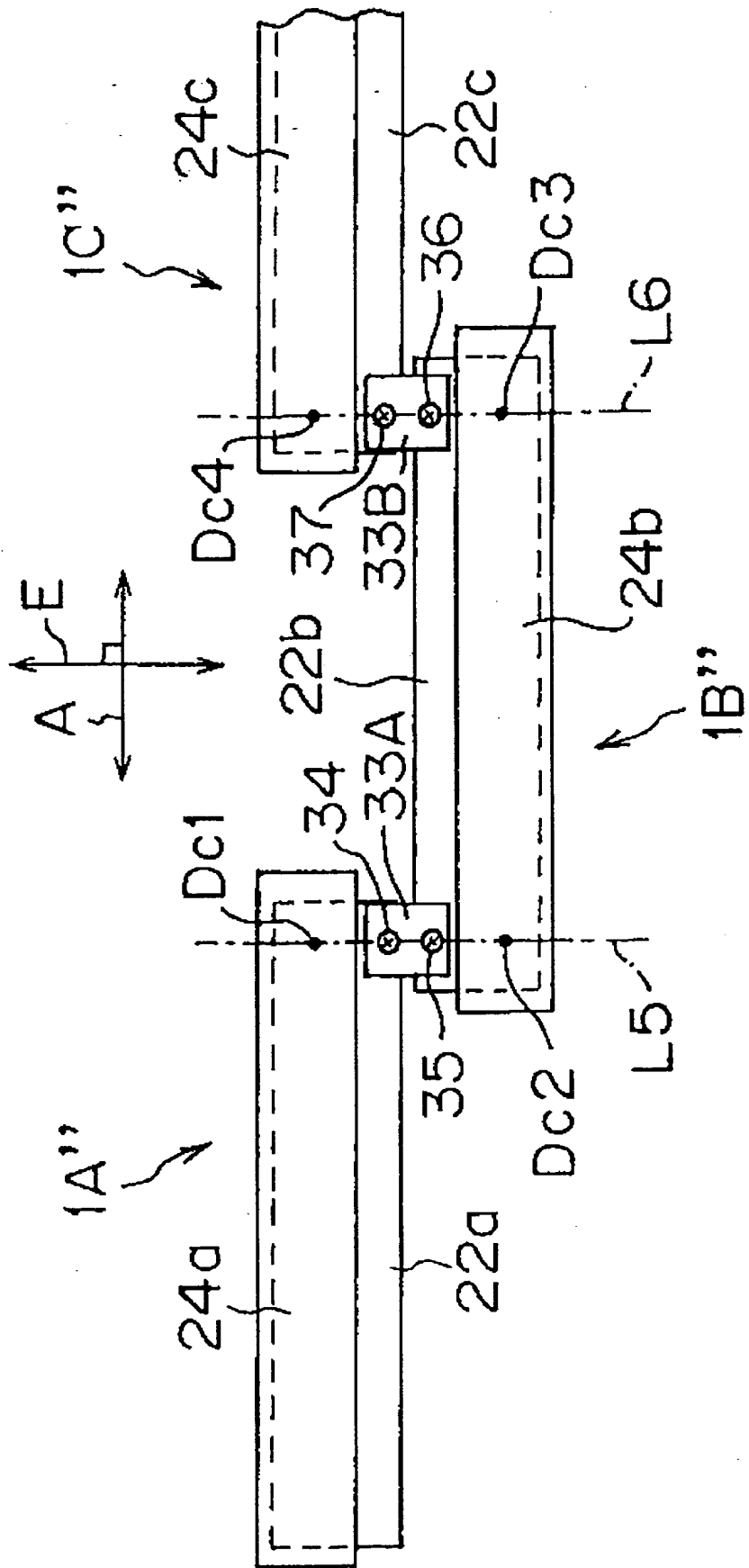


FIG. 8

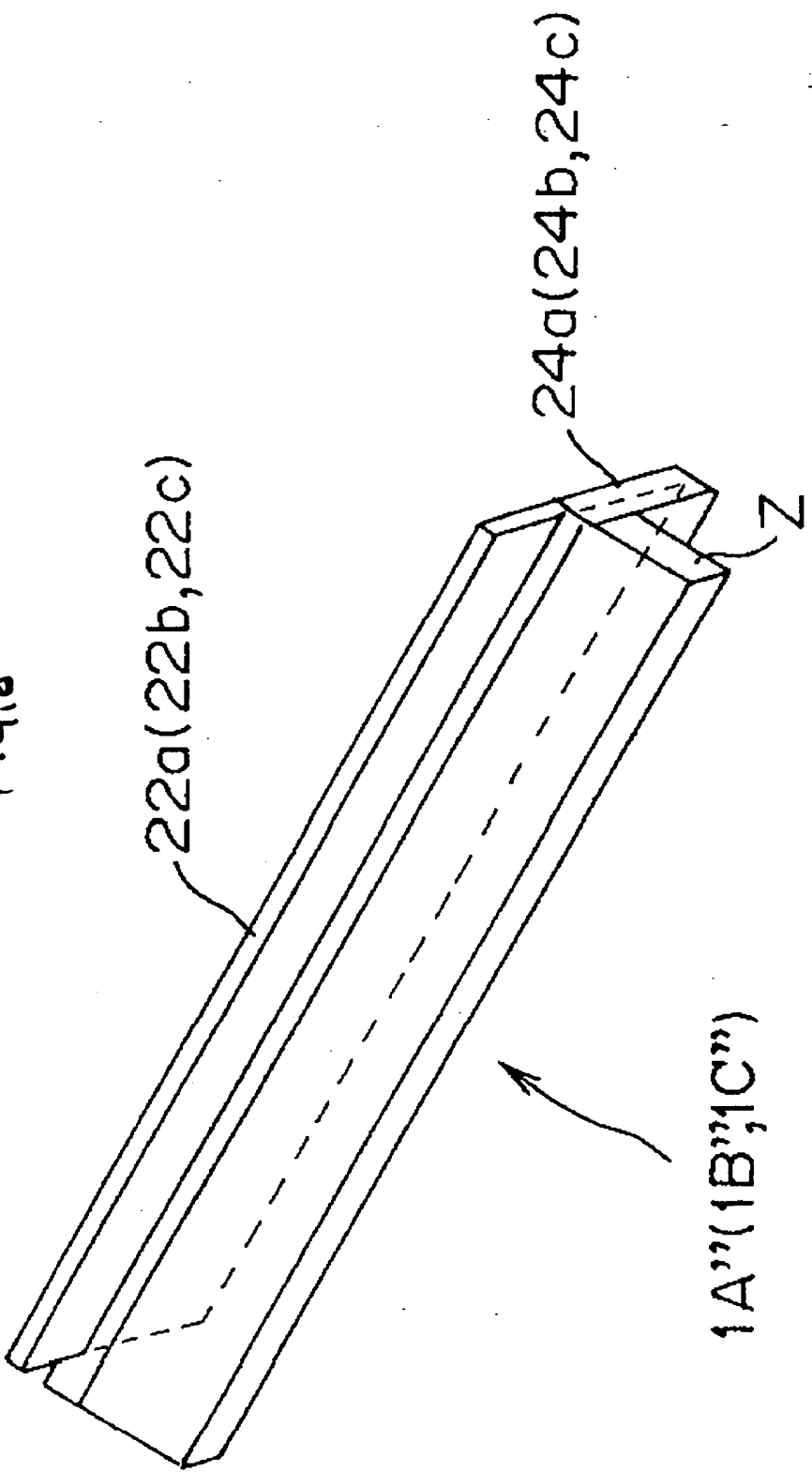


Fig. 9

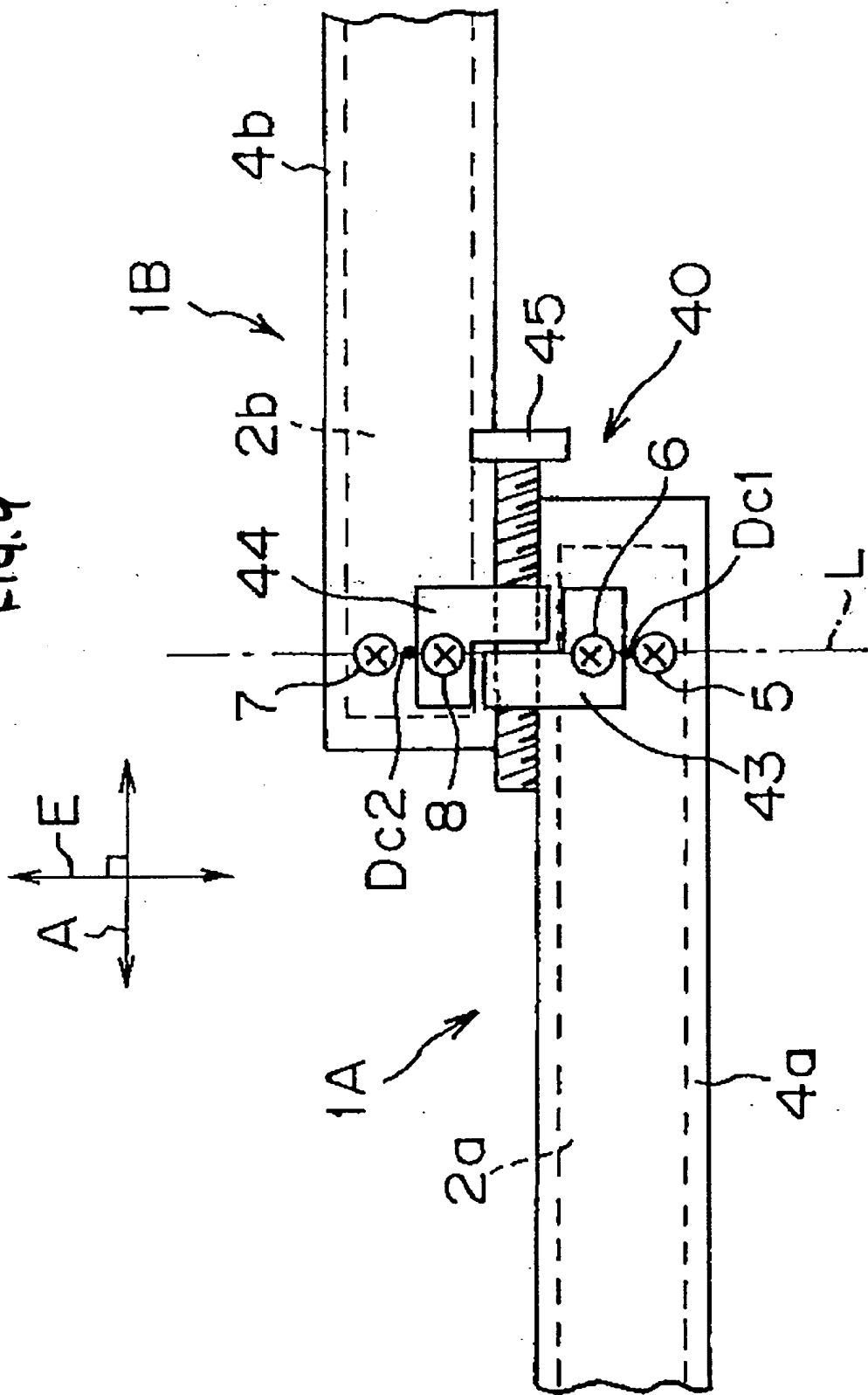


Fig. 10

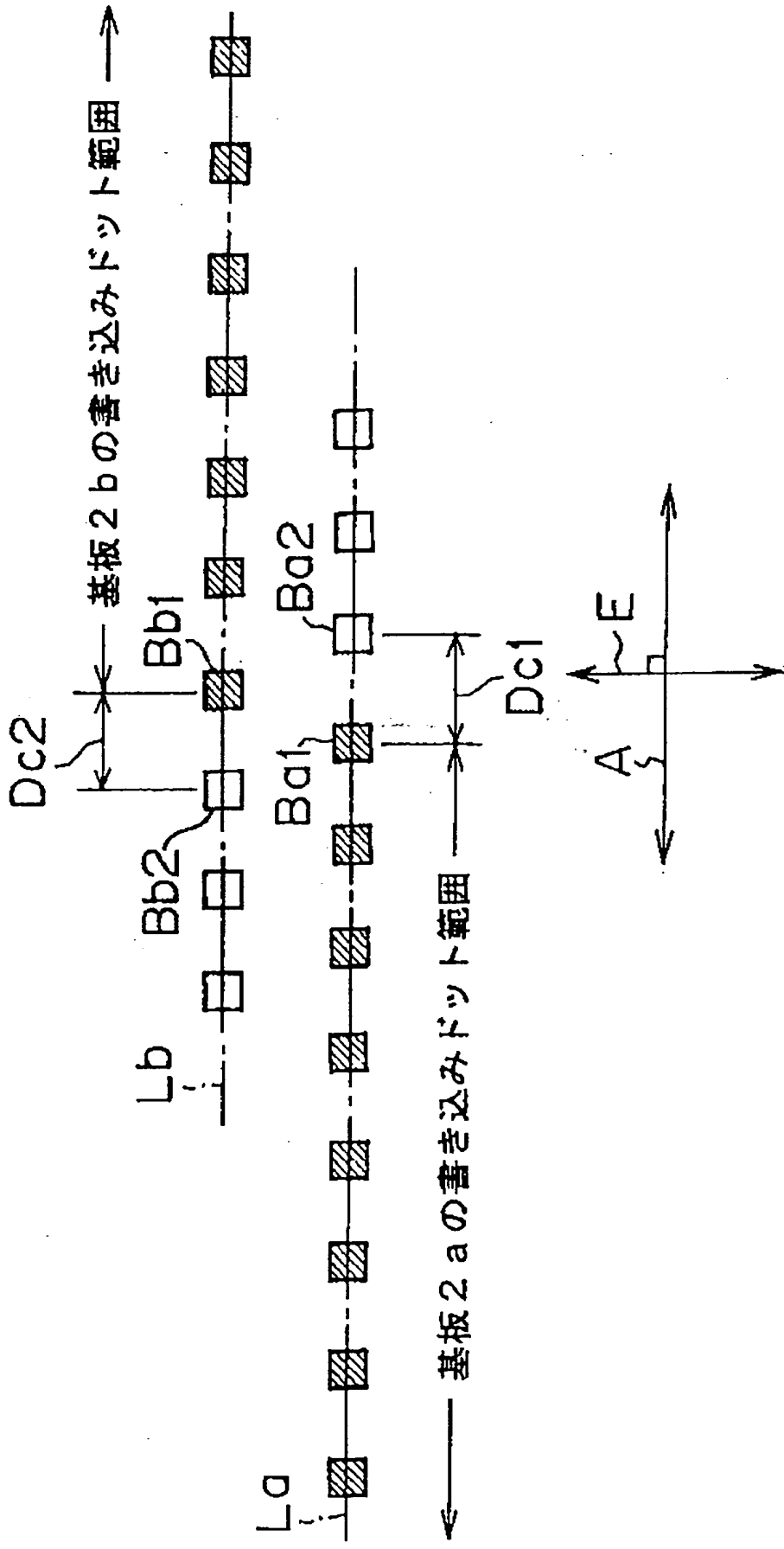


FIG. 11(a)

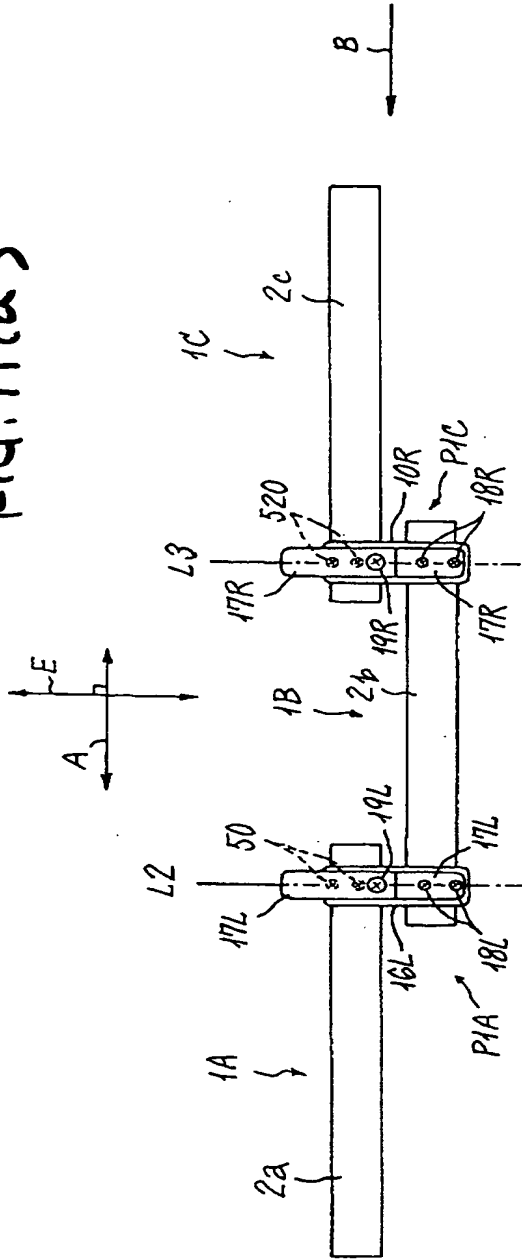


FIG. 11(b)

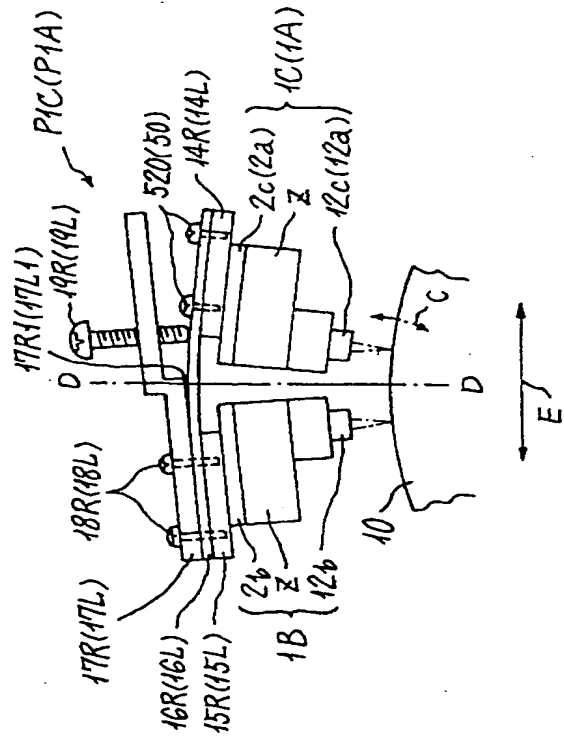
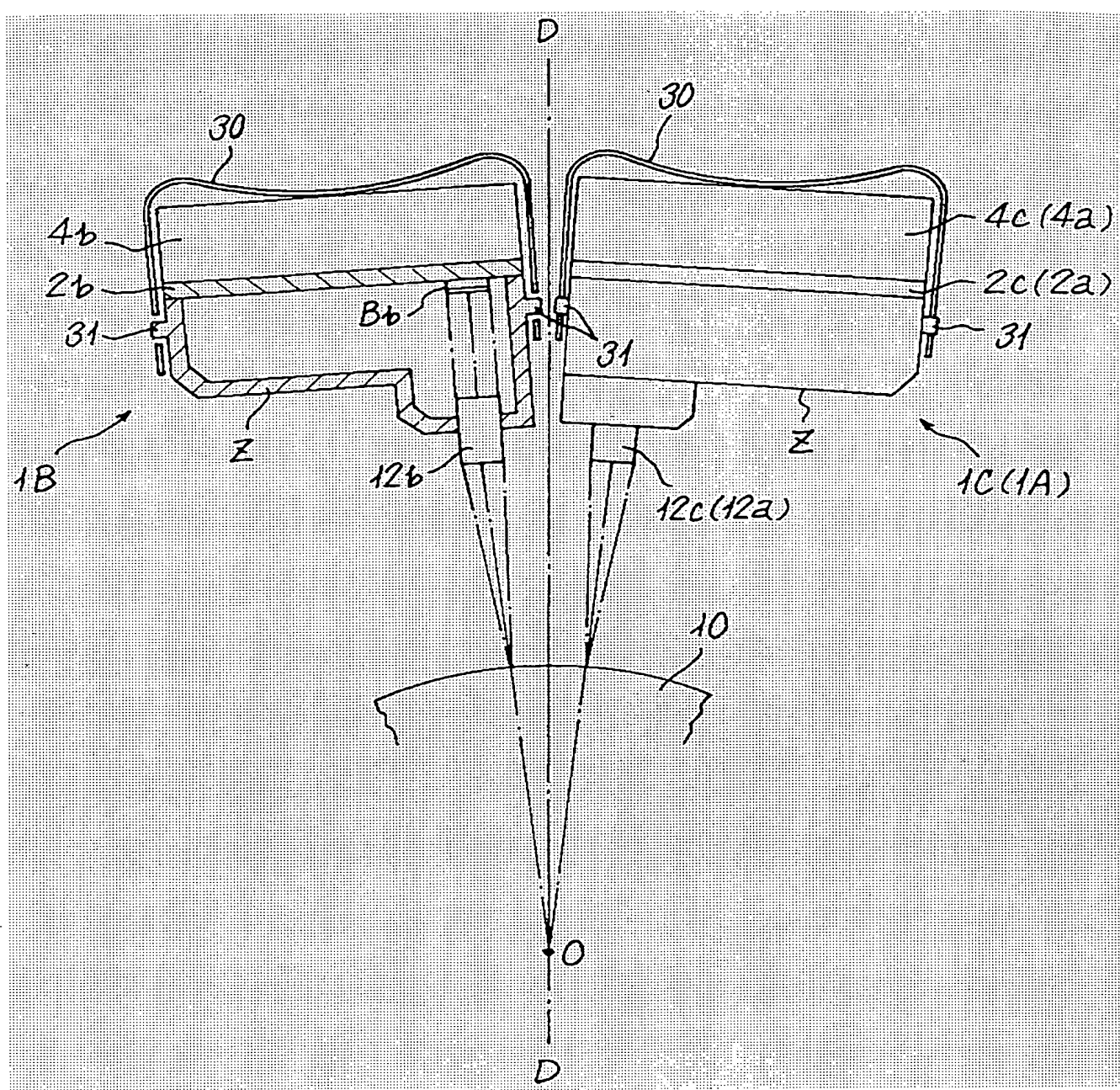


FIG. 12



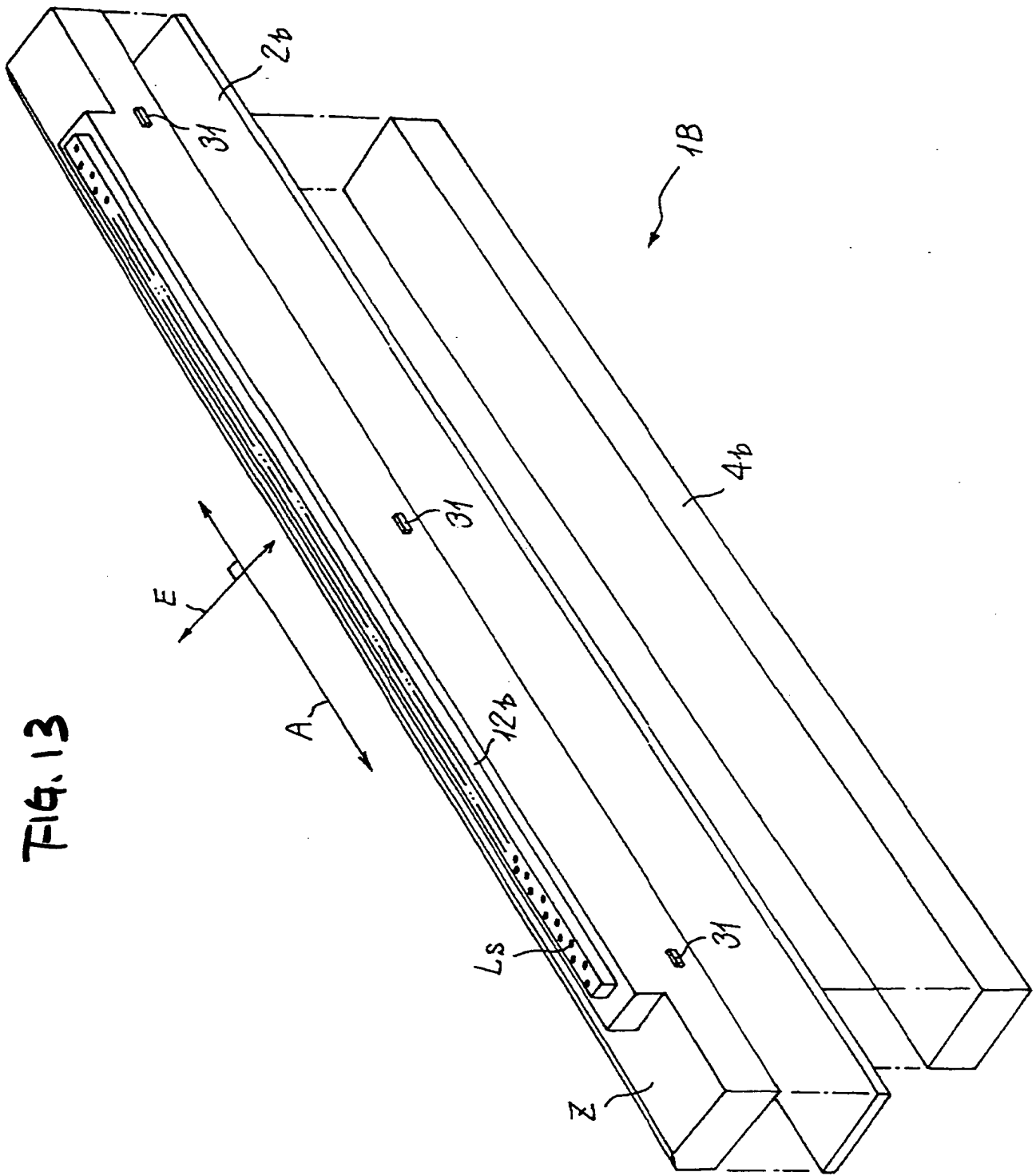


FIG. 13

FIG. 14

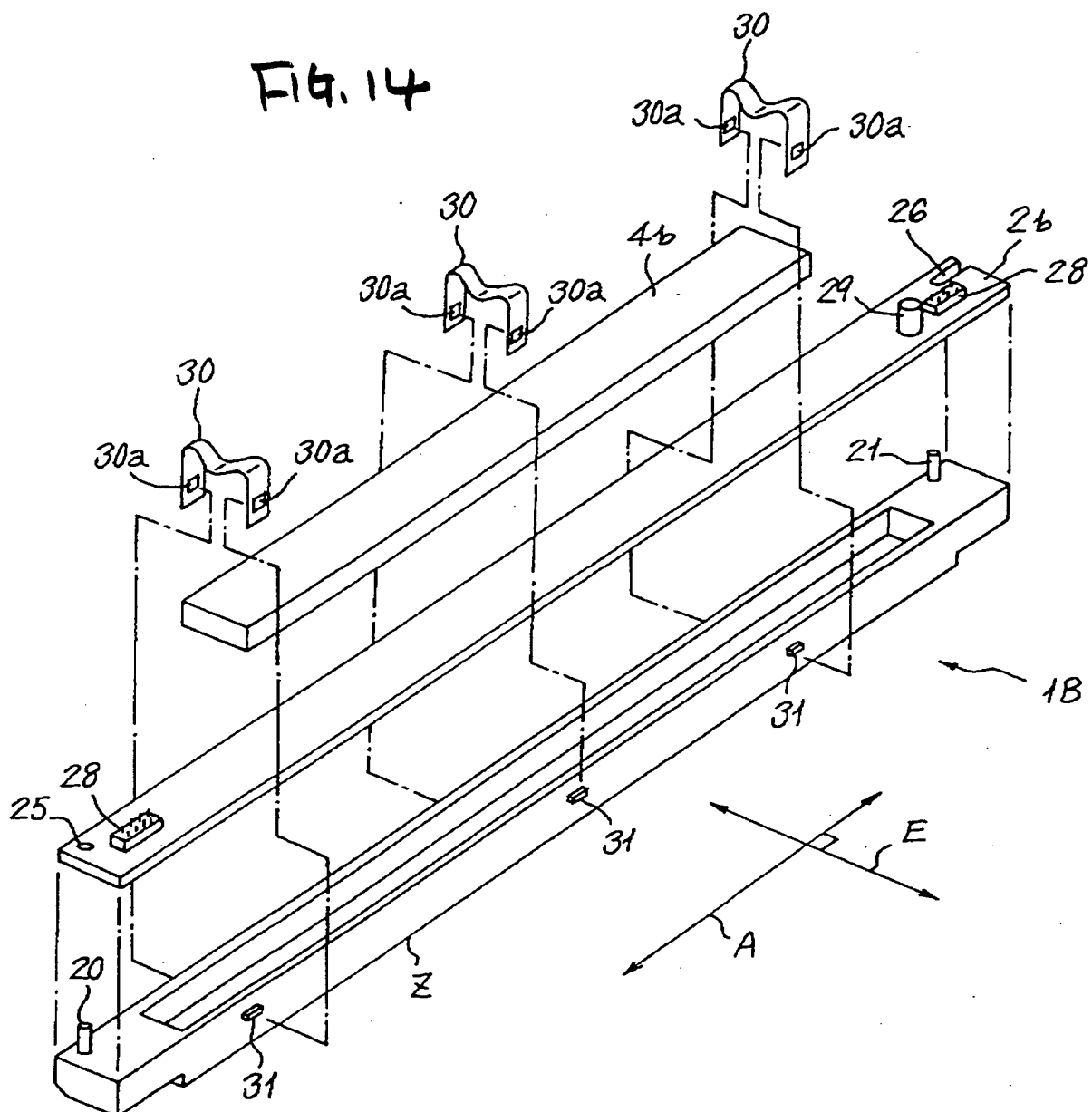


Fig. 15(a)

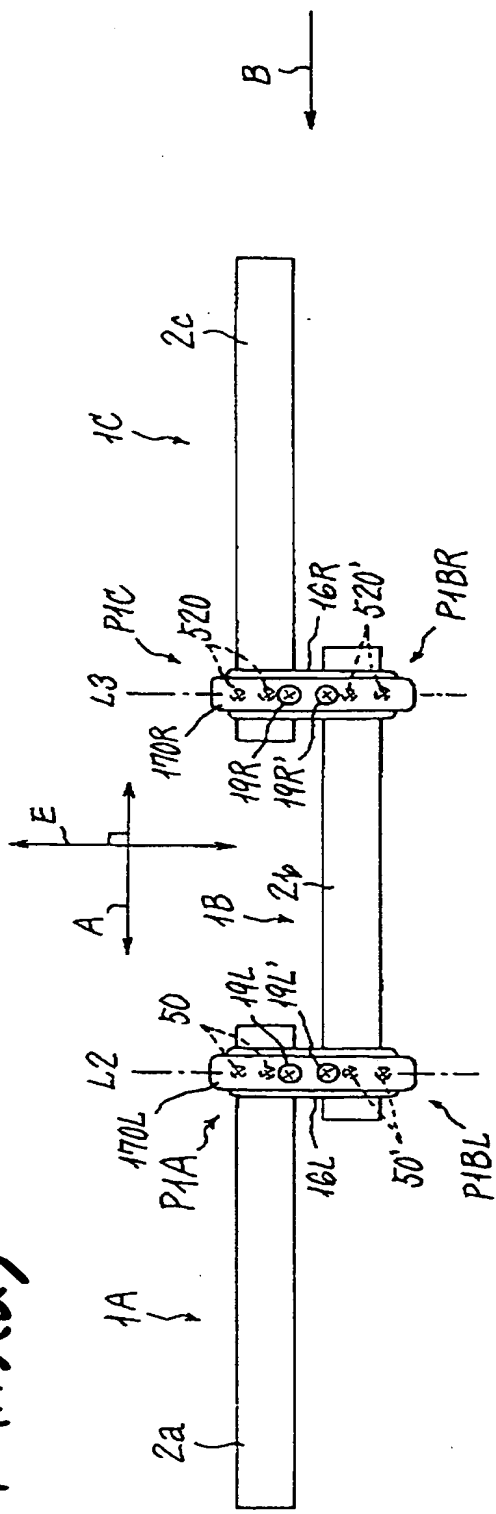


Fig. 15(b)

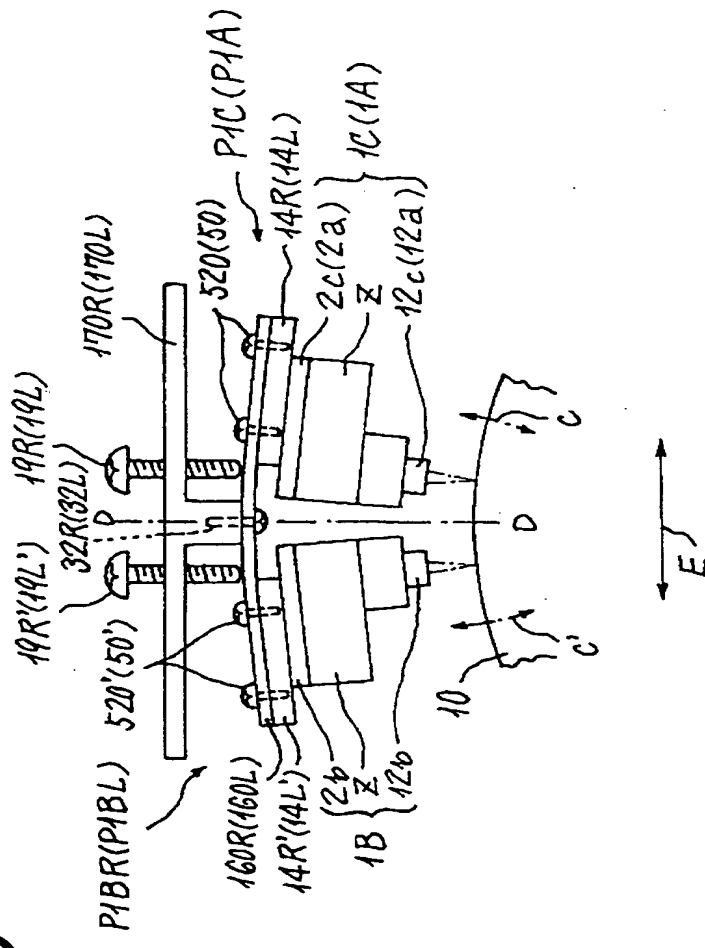
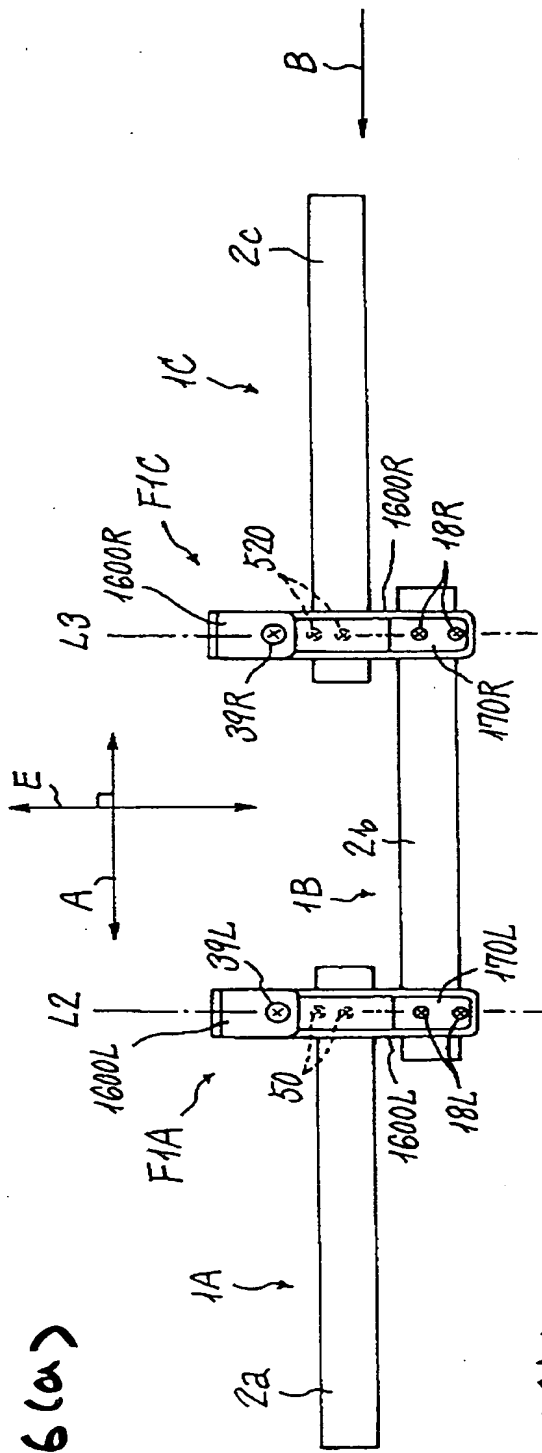


FIG. 16 (a)



TUG. 16 (b)

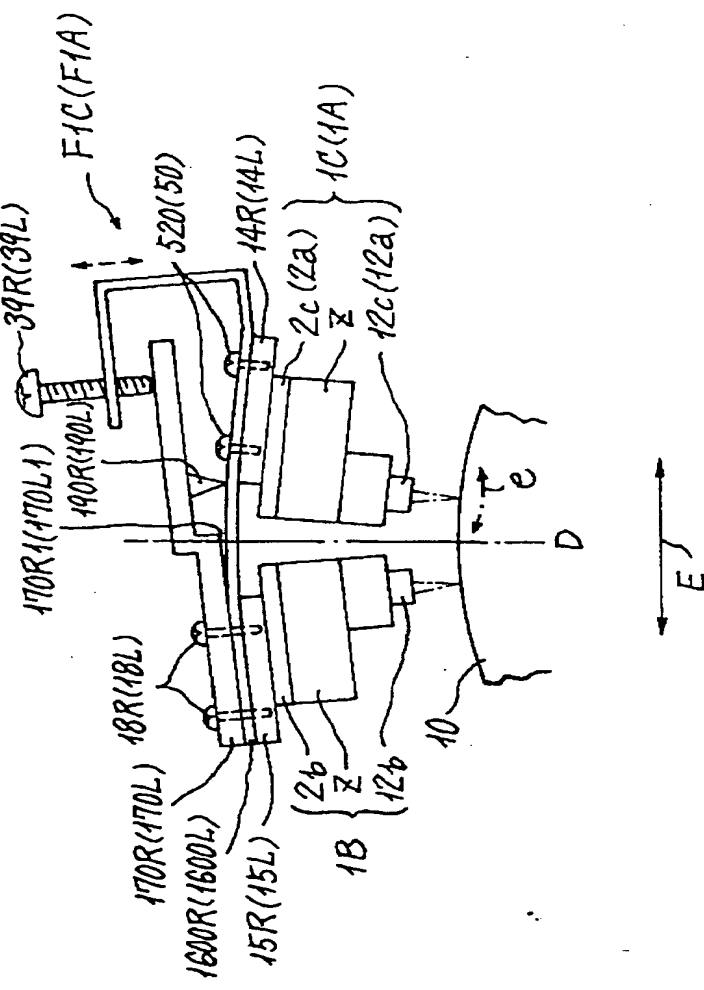


FIG. 17(a)

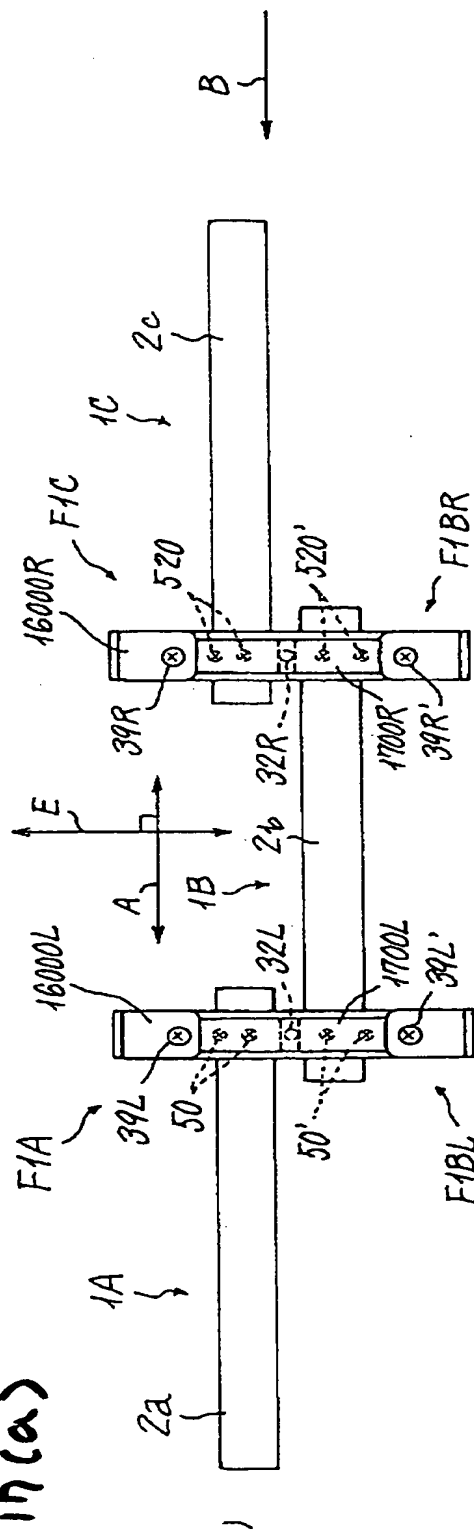
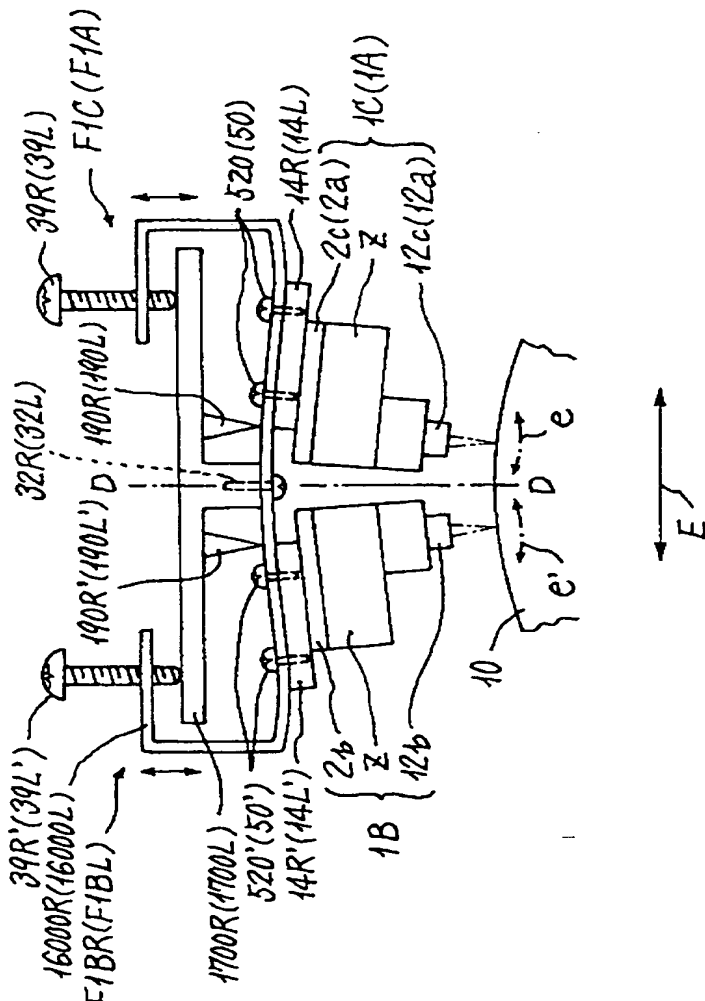


FIG. 17(b)



Tilt-i-Qasim

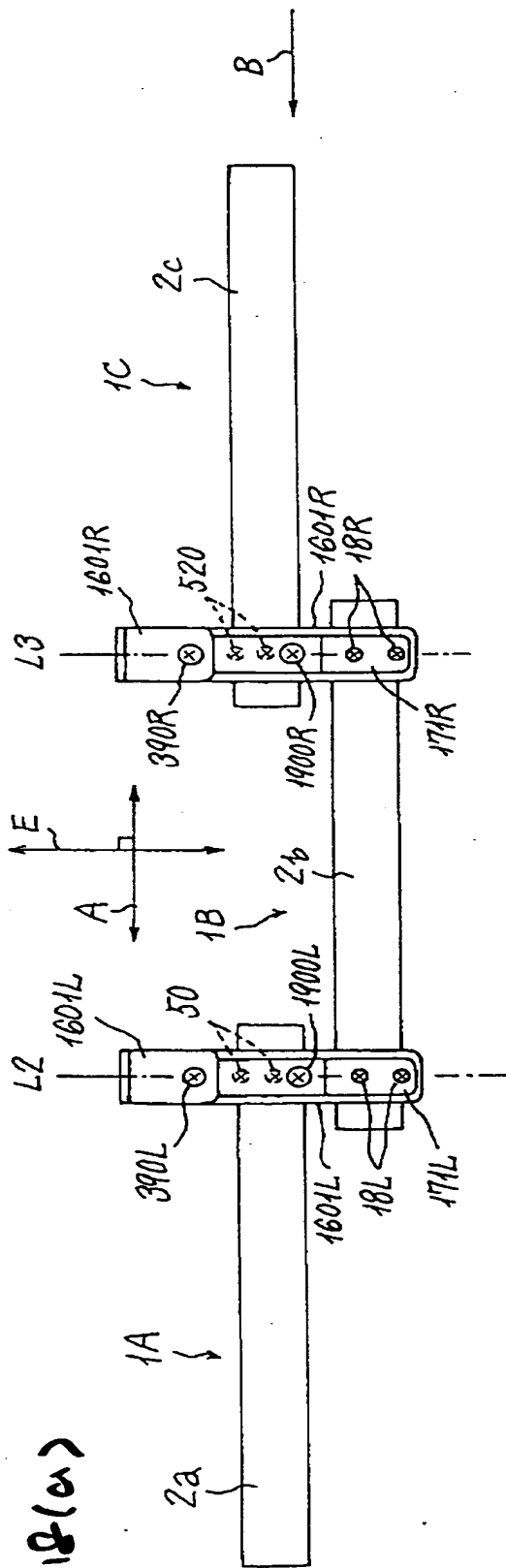


Fig. 18 (b)

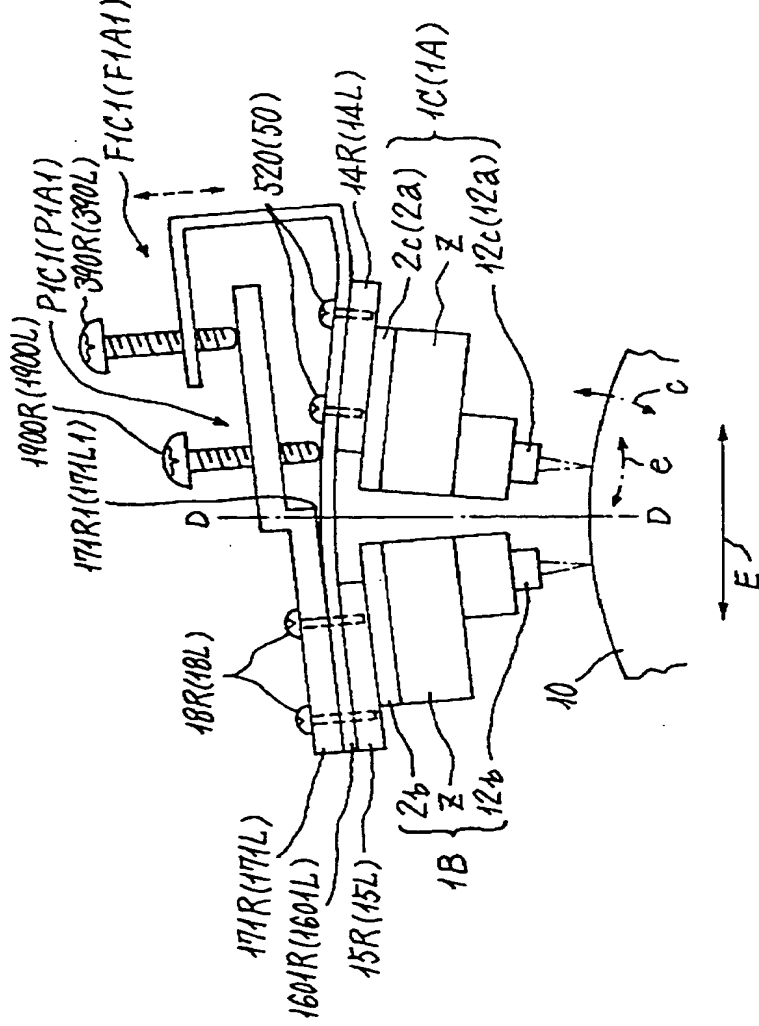


Fig. 19

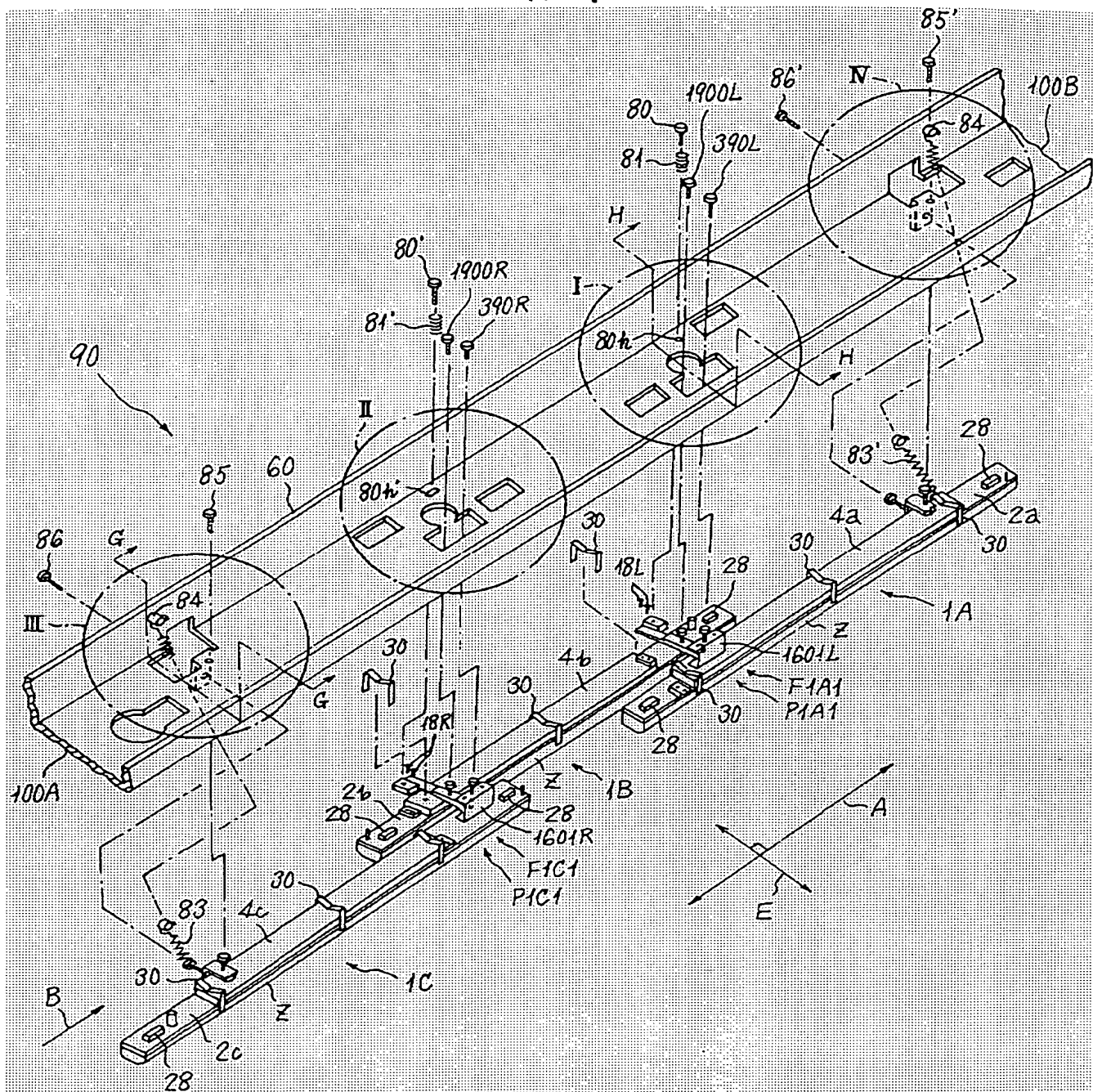


FIG. 20

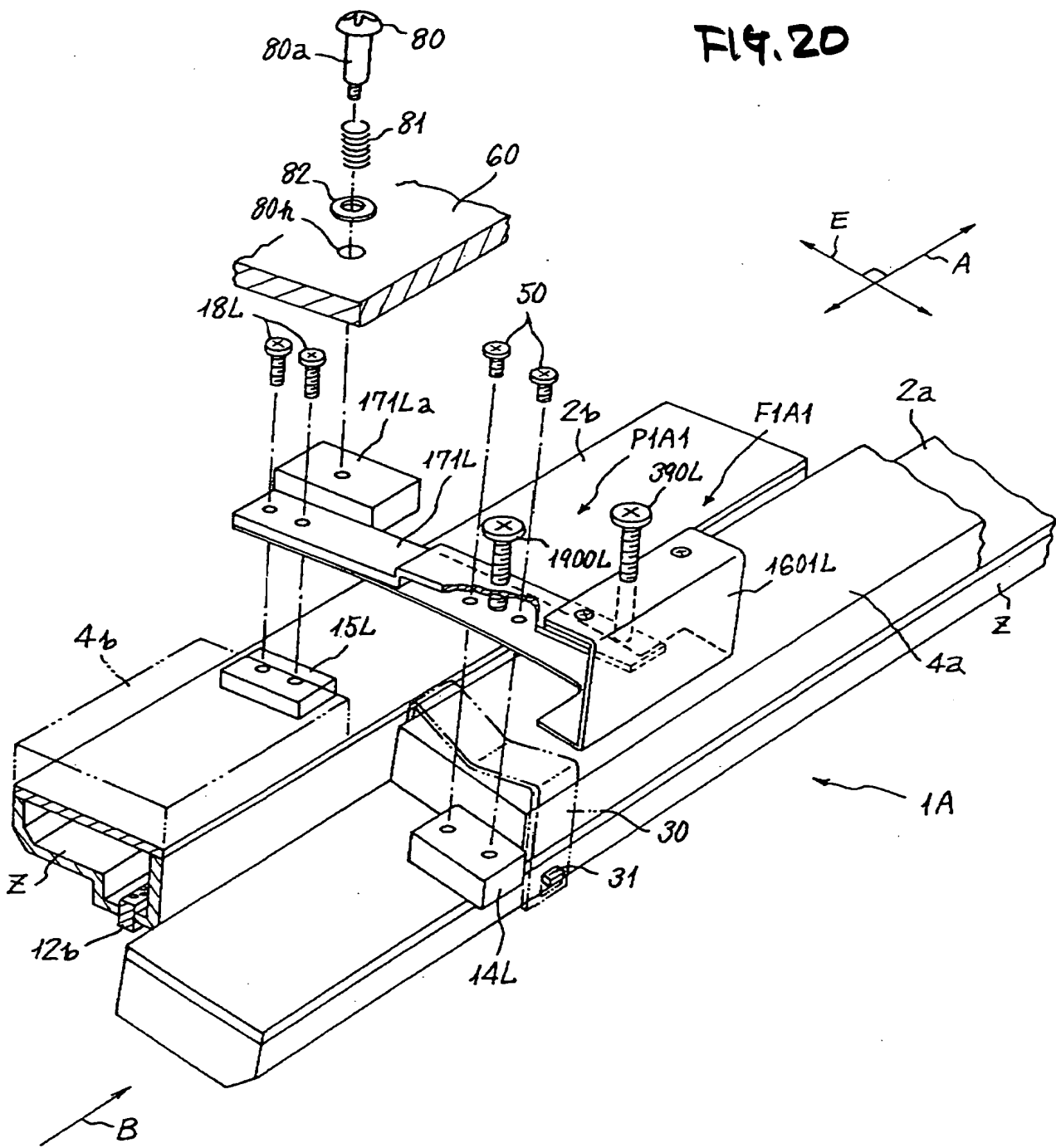
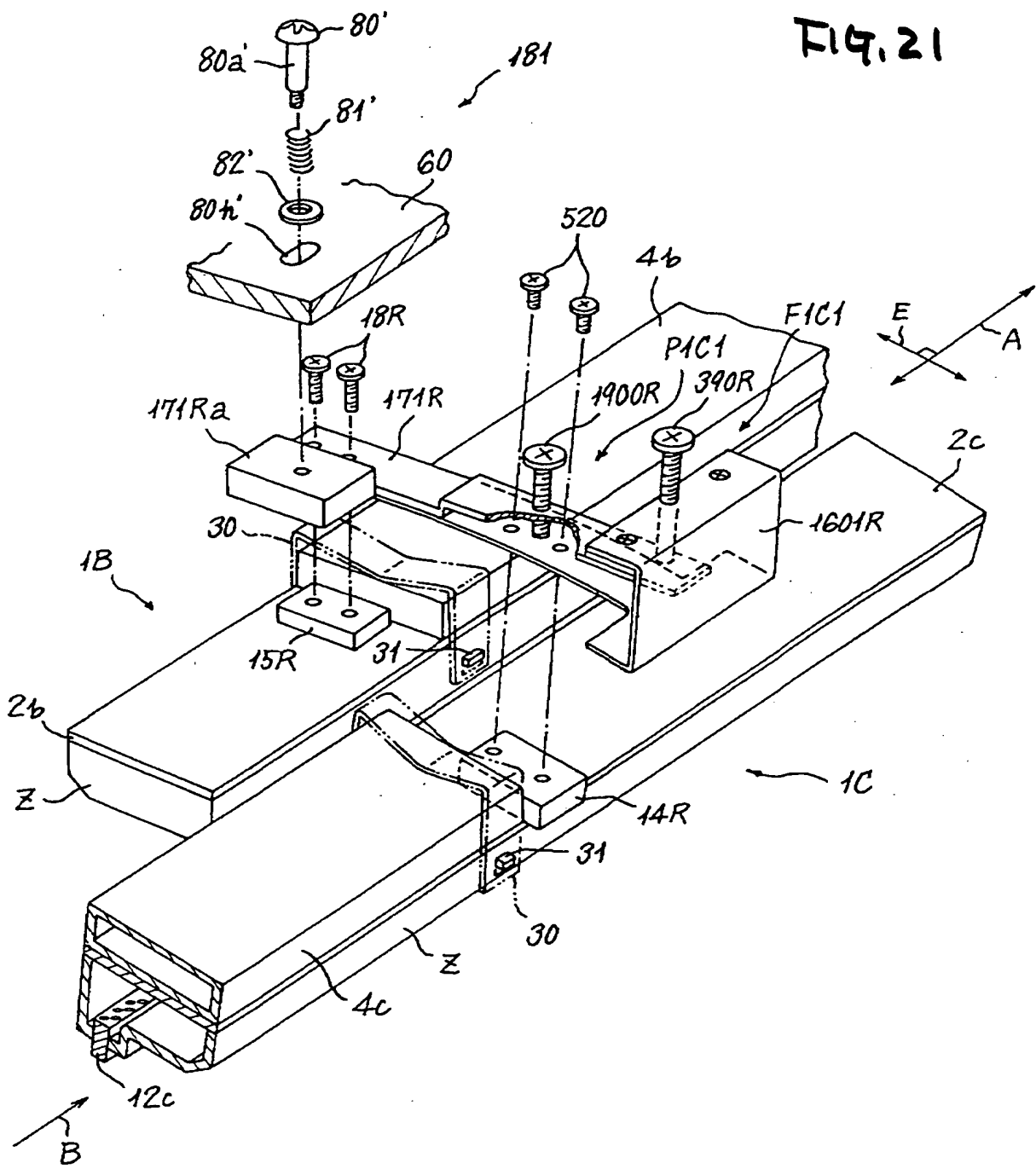


FIG. 21



009010-00024560

FIG. 22

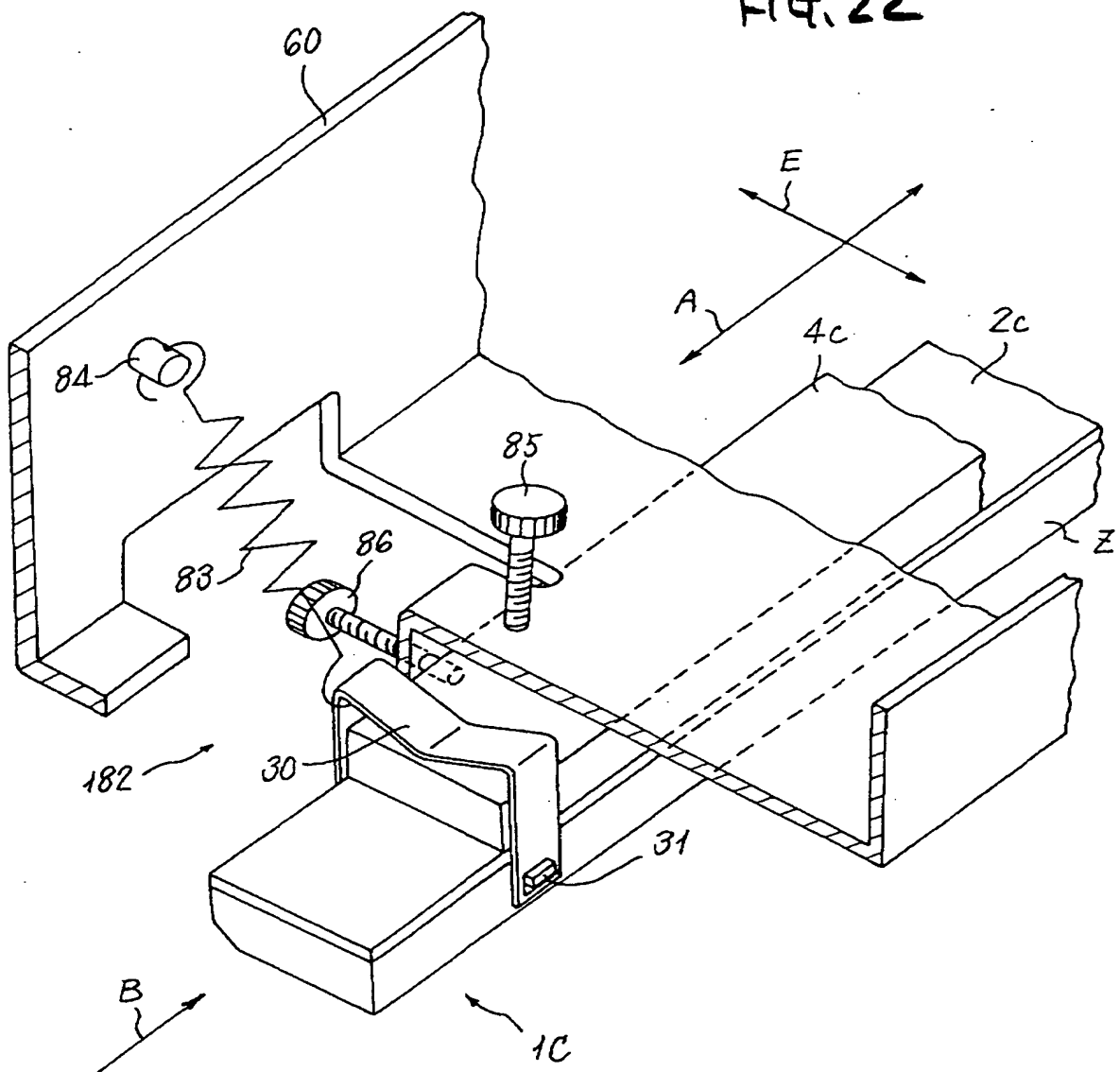


FIG. 23

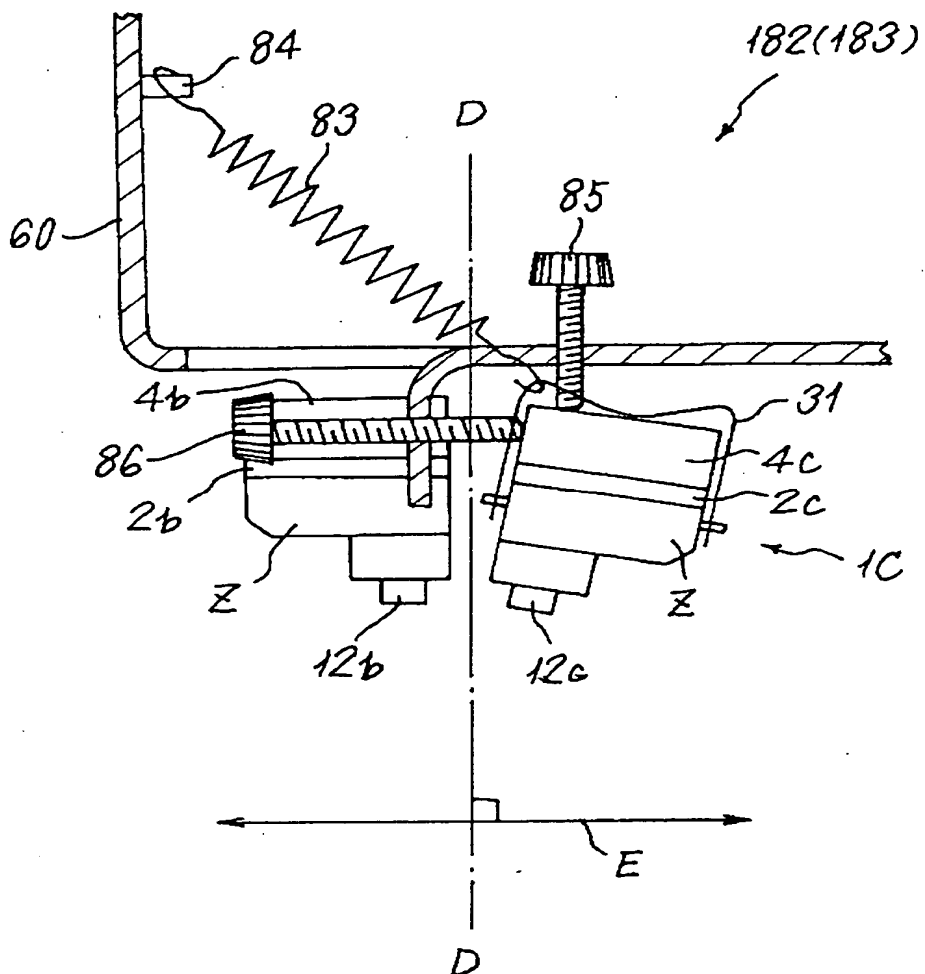
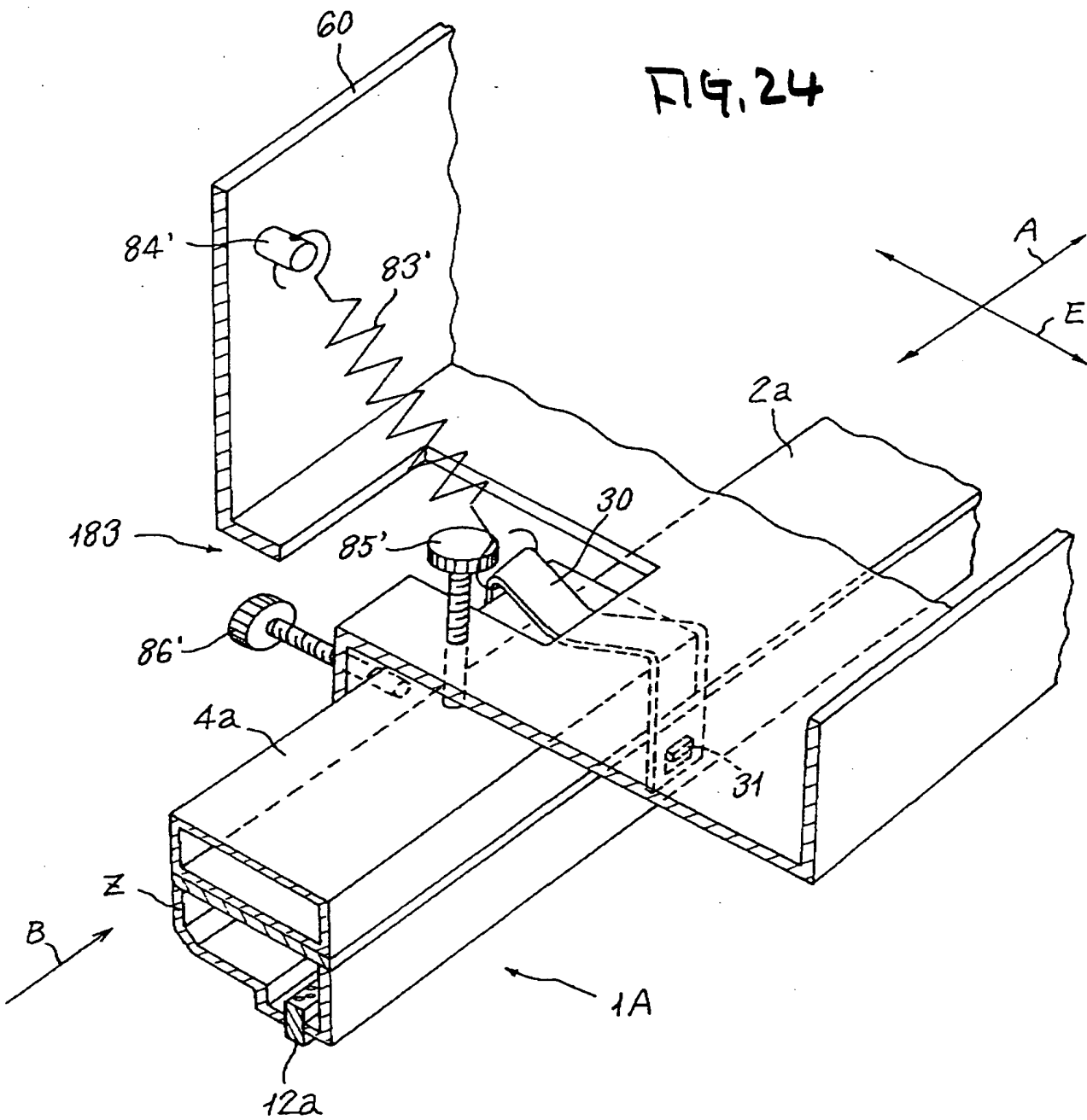


FIG. 24



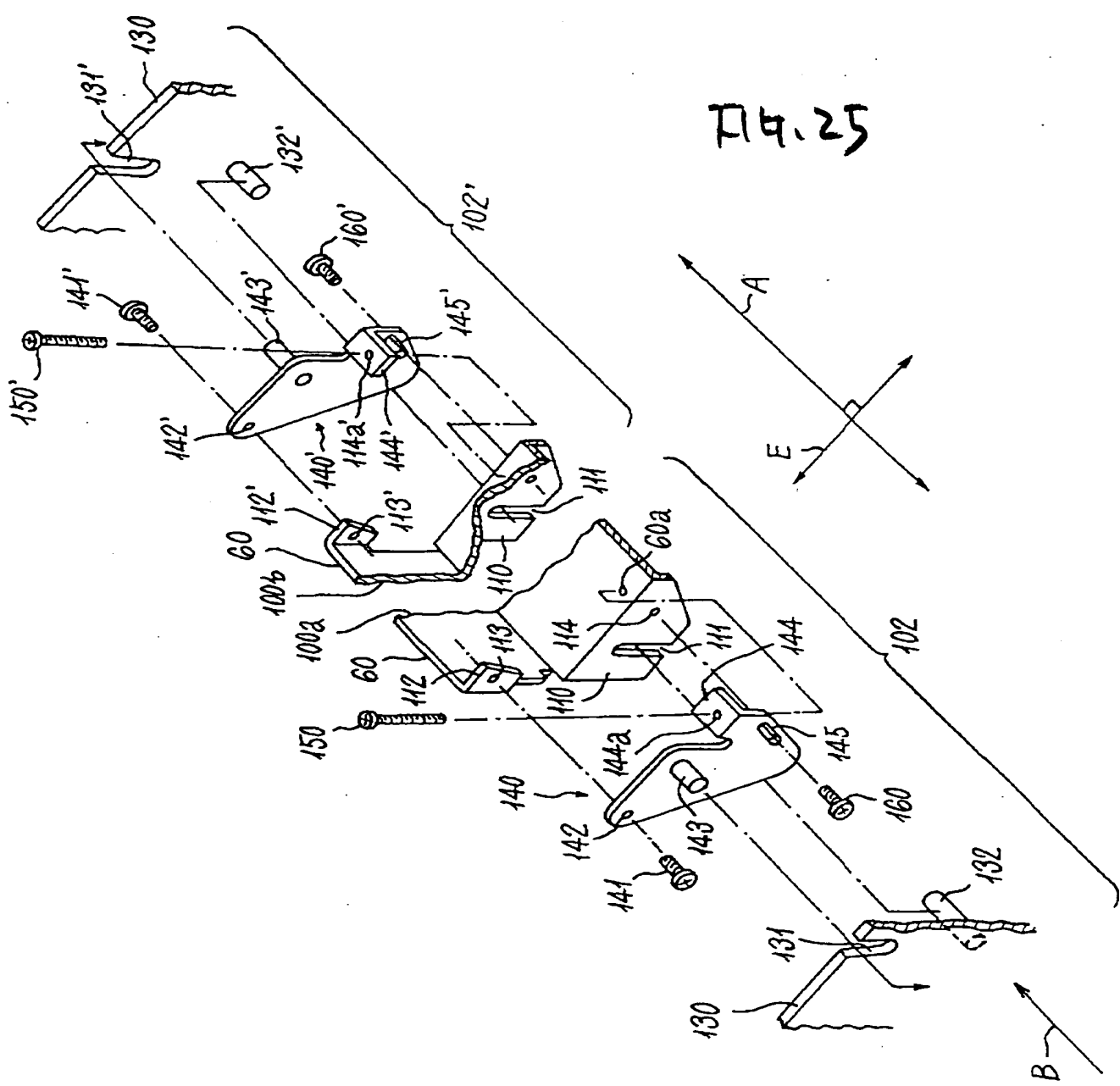


FIG. 26

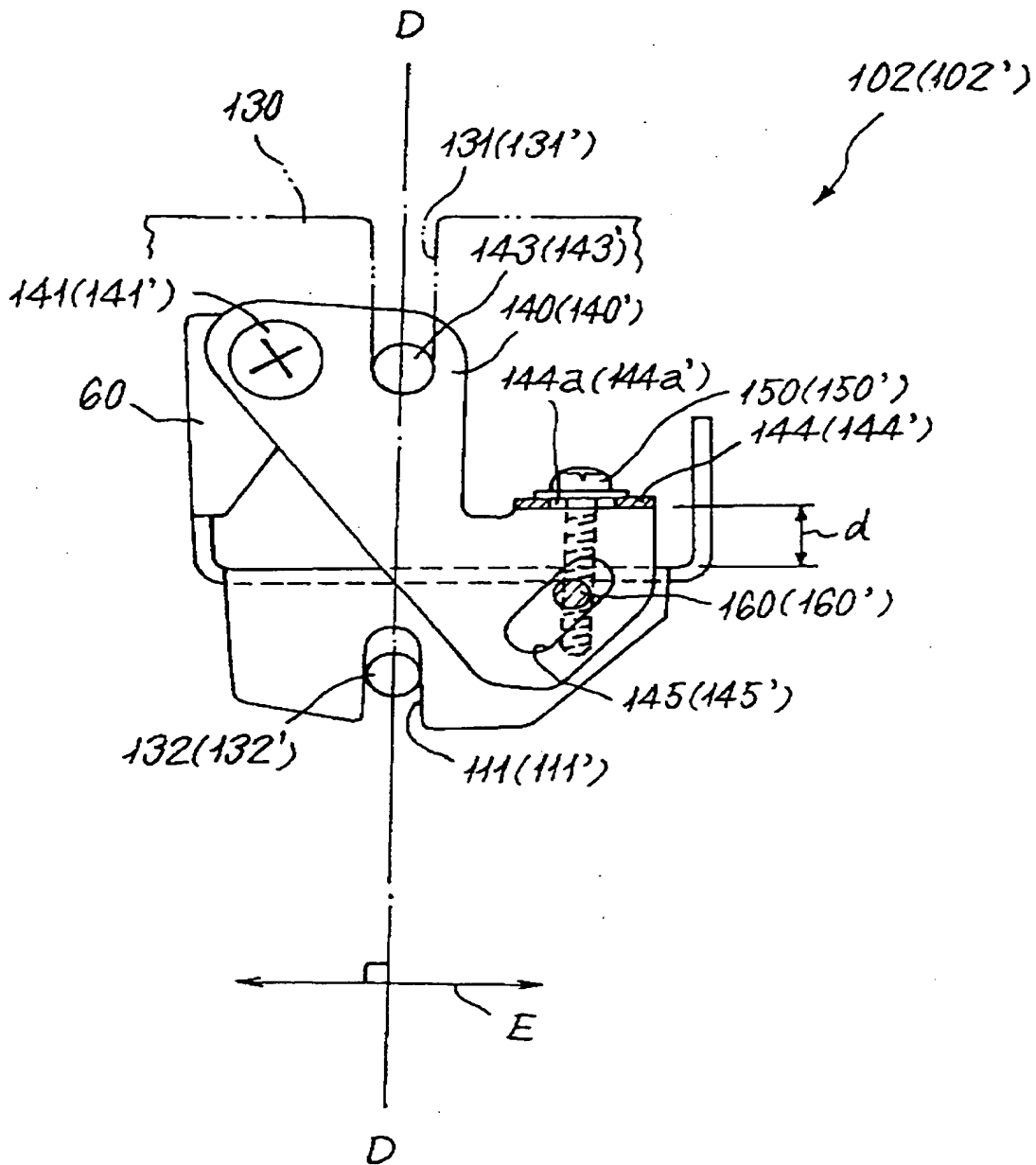


FIG. 27(a)

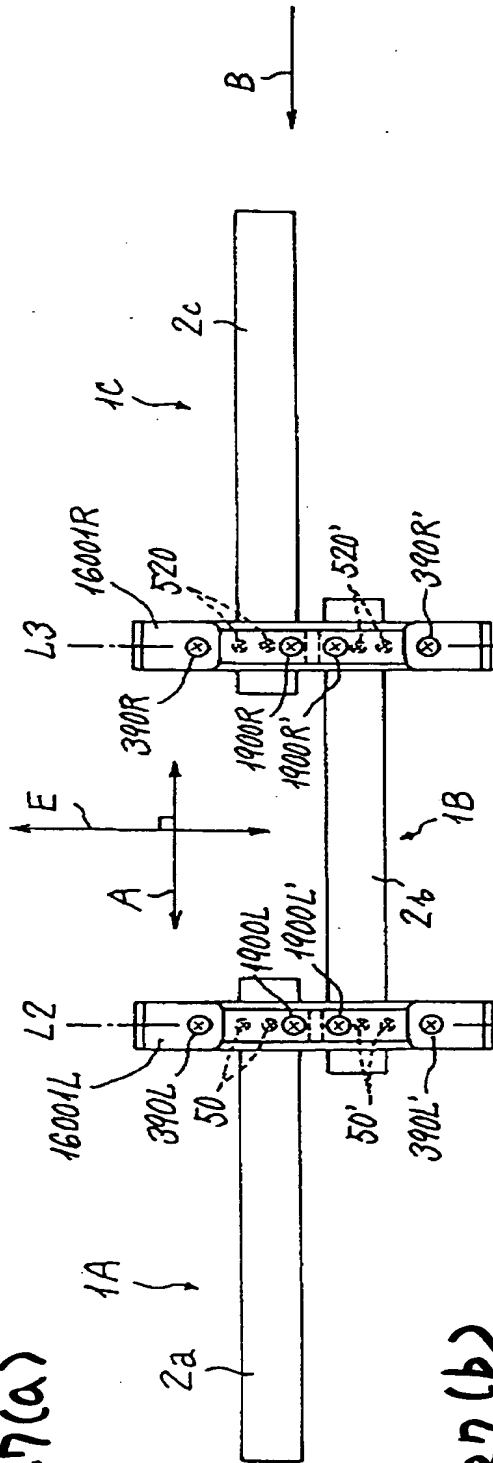


FIG. 27(b)

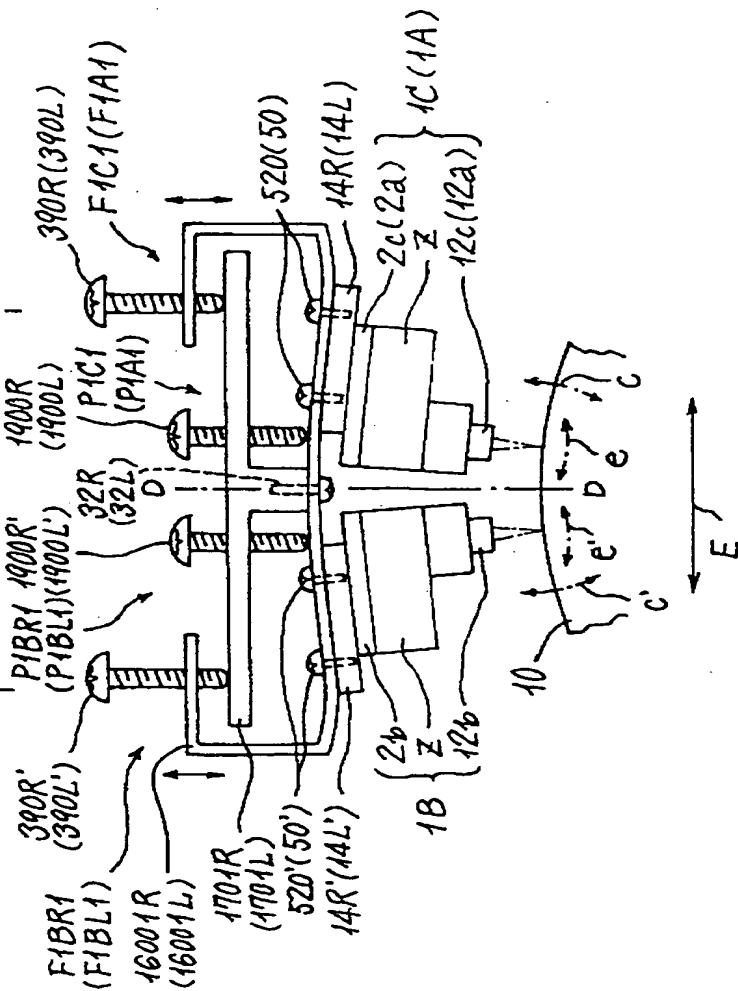


FIG. 28(a)

P 2 > P の場合

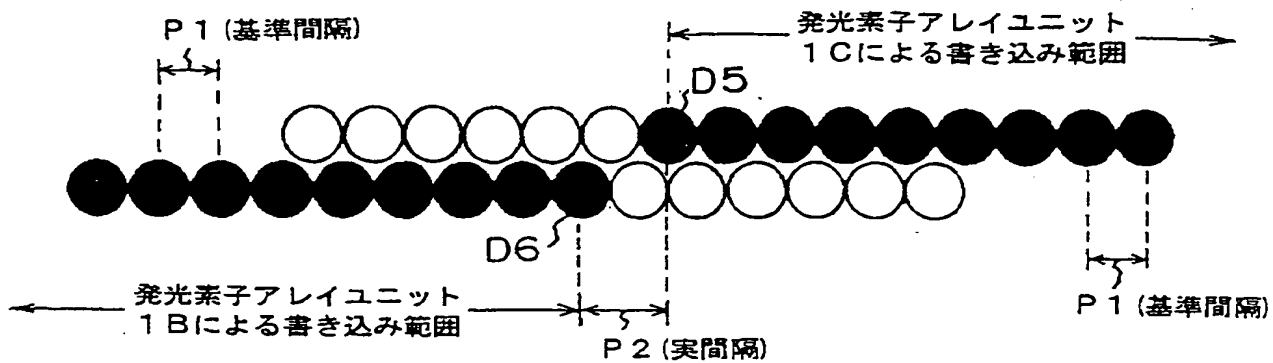


FIG. 28(b)

P 3 < P 1 の場合

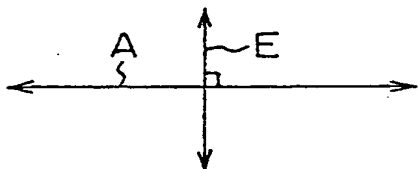
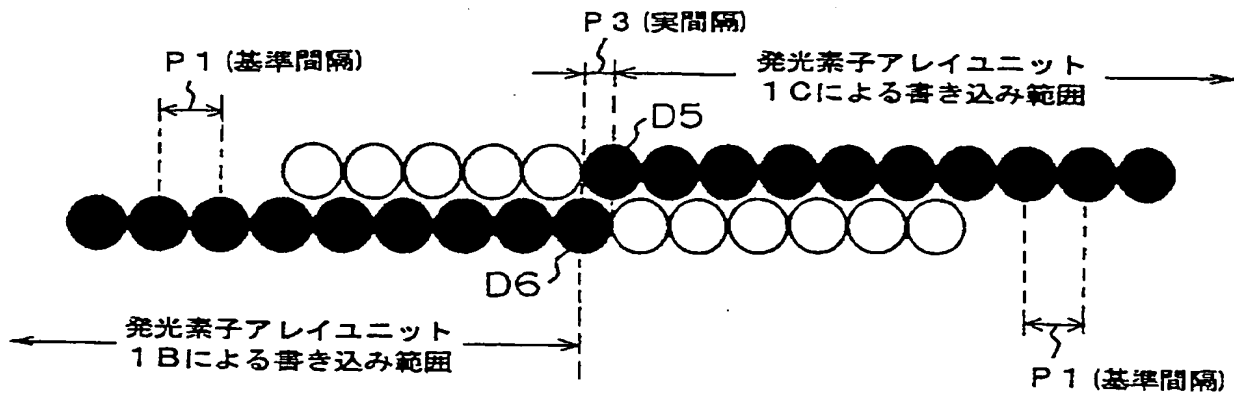


FIG. 29(a)

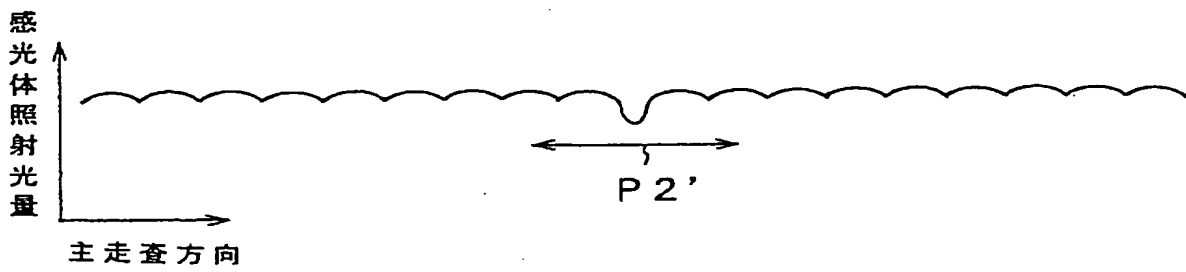


FIG. 29(b)

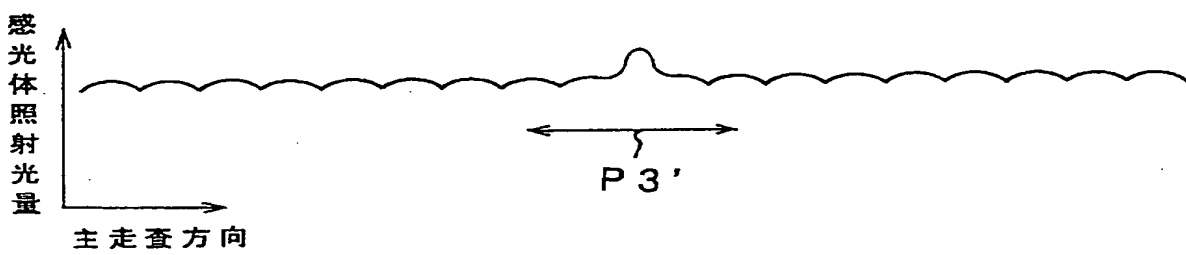


FIG. 30 (a)

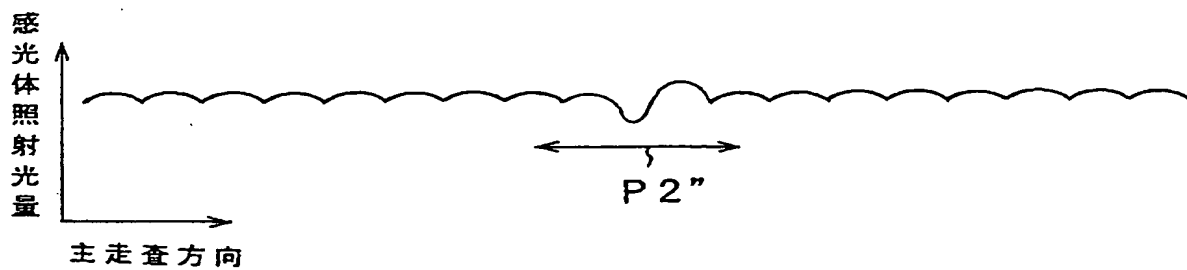
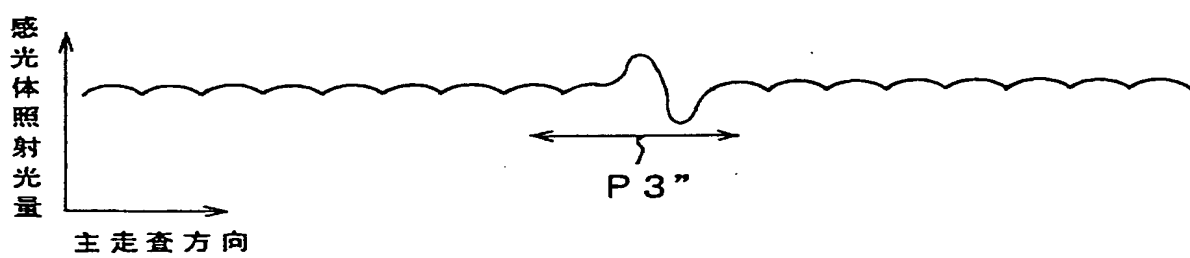


FIG. 30 (b)



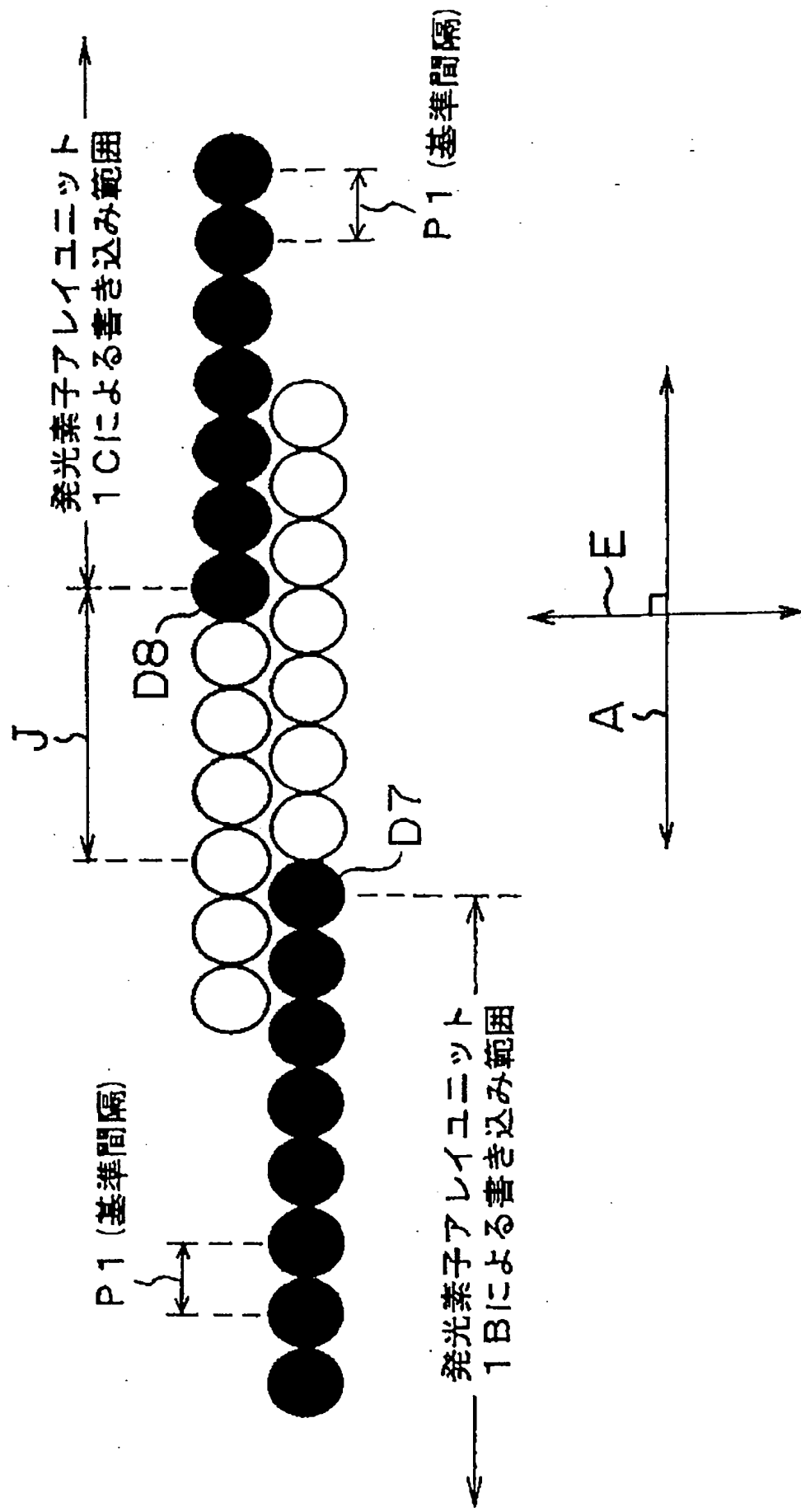


Fig. 32

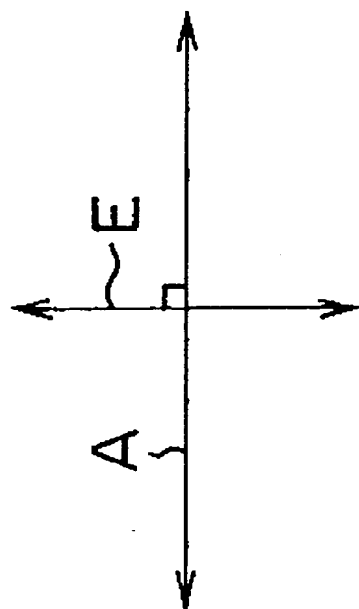
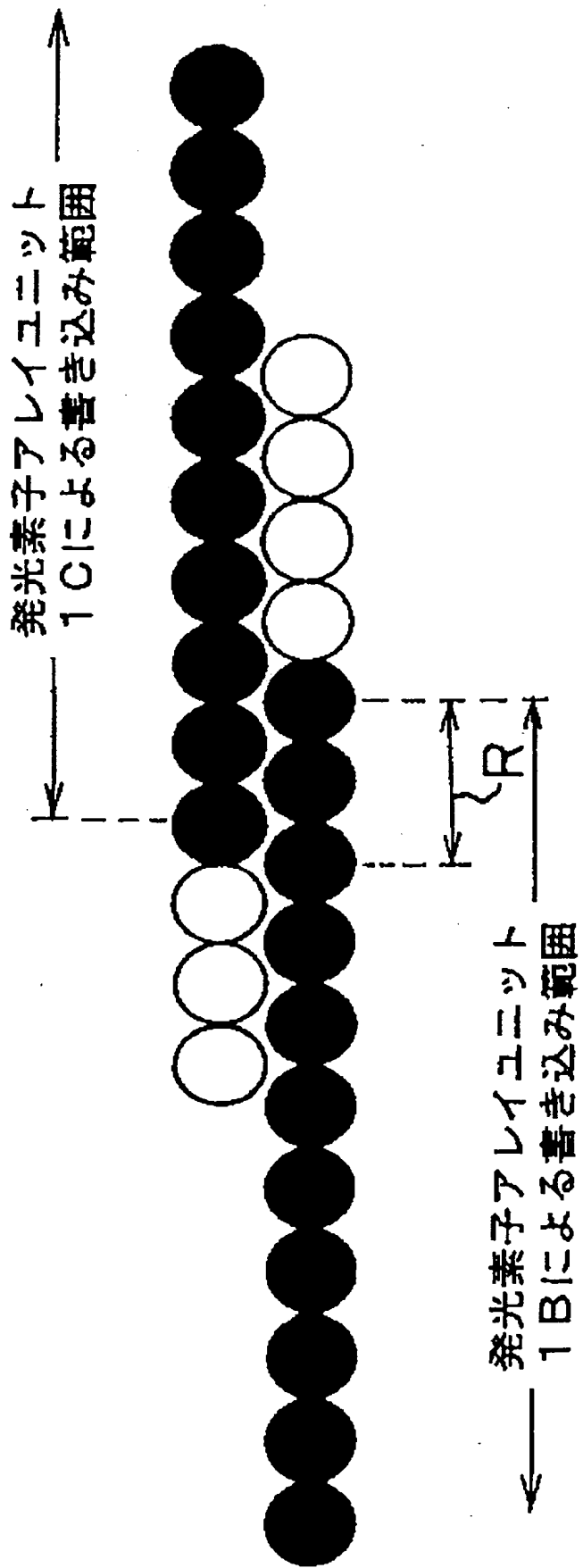


Fig. 33

